BULLETIN du MUSÉUM NATIONAL d'HISTOIRE NATURELLE

PUBLICATION BIMESTRIELLE

zoologie

184

N° 262 SEPTEMBRE-OCTOBRE 1974

BULLETIN
du
MUSÉUM NATIONAL D'HISTOIRE NATURELLE

57, rue Cuvier, 75005 Paris

Directeur : Pr M. Vachon.

Comité directeur : Prs Y. Le Grand, C. Lévi, J. Dorst.

Rédacteur général : Dr M.-L. Bauchot.

Secrétaire de rédaction : Mme P. Dupérier.

Conseiller pour l'illustration : Dr N. Hallé.

Le *Bulletin du Muséum national d'Histoire naturelle*, revue bimestrielle, paraît depuis 1895 et publie des travaux originaux relatifs aux diverses branches de la Science.

Les tomes 1 à 34 (1895-1928), constituant la 1re série, et les tomes 35 à 42 (1929-1970), constituant la 2e série, étaient formés de fascicules regroupant des articles divers.

A partir de 1971, le *Bulletin* 3e série est divisé en six sections (Zoologie — Botanique — Sciences de la Terre — Sciences de l'Homme — Sciences physico-chimiques — Écologie générale) et les articles paraissent, en principe, par fascicules séparés.

S'adresser :

— pour les **échanges,** à la Bibliothèque centrale du Muséum national d'Histoire naturelle, 38, rue Geoffroy-Saint-Hilaire, 75005 Paris (C.C.P., Paris 9062-62) ;

— pour les **abonnements** et les **achats au numéro,** à la Librairie du Muséum 36, rue Geoffroy-Saint-Hilaire, 75005 Paris (C.C.P., Paris 17591-12 — Crédit Lyonnais, agence Y-425) ;

— pour tout ce qui concerne la **rédaction,** au Secrétariat du *Bulletin*, 57, rue Cuvier, 75005 Paris.

Abonnements pour l'année 1974

Abonnement général : France, 440 F ; Étranger, 484 F.
Zoologie : France, 340 F ; Étranger, 374 F.
Sciences de la Terre : France, 90 F ; Étranger, 99 F.
Botanique : France, 70 F ; Étranger, 77 F.
Écologie générale : France, 60 F ; Étranger, 66 F.
Sciences physico-chimiques : France, 20 F ; Étranger, 22 F.

International Standard Serial Number (ISSN) : 0027-4070.

BULLETIN DU MUSÉUM NATIONAL D'HISTOIRE NATURELLE
3e série, n° 262, septembre-octobre 1974, Zoologie 184

Les Mnesicleinae des Philippines (Orthoptera Eumastacoidea)

par Marius Descamps *

Résumé. — Huit espèces de Mnesicleinae dont 3 récemment décrites étaient connues à ce jour des Philippines. L'étude d'une petite collection de l'Académie de Philadelphie permet d'établir comme suit la composition de la sous-famille dans ce pays : 12 genres, 30 espèces. L'auteur présente une clé d'identification des genres et passe en revue l'ensemble de ces espèces.

Six genres nouveaux et 22 espèces inédites sont décrits avec représentation des genitalia externes et internes. La diagnose de chaque genre est suivie d'une clé d'identification des espèces. L'ensemble est illustré de 175 figures.

Abstract. — Eight species of Mnesicleinae, 3 of which have been described recently, were known so far to exist in the Philippines. But the study of a small collection belonging to the Academy of Philadelphia has enabled us to establish the composition of the subfamily in the Philippines as follows : 12 genera, 30 species. A key of the genera is presented together with an identification of the species.

Six new genera and 22 unknown species are described with an illustration in each case of the external and internal genitalia. The diagnosis of each genus is followed by the key of the species. 175 illustrations are presented.

Introduction

D'une surface de 300 000 km² et s'étendant entre 4°30′ et 20°40′ de latitude Nord, l'Archipel des Philippines comporte 7 080 îles dont 4 000 ne portent pas de nom. Onze d'entre elles couvrent 95 % de la surface totale, les plus vastes étant Luzon (108 172 km²) et Mindanao (99 311 km²).

De ce vaste ensemble on ne connaissait jusqu'à présent que 8 espèces de Mnesicleinae dont 3 tout récemment décrites (Descamps, 1974). Une petite série de 35 exemplaires nous a été communiquée pour étude par le Dr Rentz de l'Académie de Philadelphie à qui nous adressons nos plus vifs remerciements. Cette série ne comporte pas moins de 11 genres dont 6 précédemment inconnus et 24 espèces dont 22 inédites.

Ces chiffres sont de nature à nous faire réaliser la richesse jusqu'à présent insoupçonnée de la faune des Mnesicleinae de ce pays et de l'ensemble des îles de la région orientale. Le nombre de formes à découvrir doit être tel qu'on peut considérer que nos connaissances sur les Eumastacoïdes orientaux sont tout à fait rudimentaires.

Nous proposons ci-dessous une clé d'identification pratique de l'ensemble des genres

* *Laboratoire d'Entomologie, Muséum national d'Histoire naturelle, 45, rue de Buffon, 75005 Paris.*

de la sous-famille et passons en revue l'ensemble des espèces jusqu'à présent connues des Philippines. L'étude d'une faune aussi variée avec un matériel aussi réduit ne va pas sans énormes difficultés.

S'il est aisé de déterminer l'appartenance générique des ♂, les ♀ posent de très grands problèmes qu'il est pratiquement impossible de résoudre dans l'état actuel de nos connaissances. Les caractères de genre sont vraisemblablement bien nets mais ne sont pas suffisamment définis en ce qui les concerne. La constitution des couples est également très délicate du fait des espèces sympatriques. En raison de la diversité spécifique il est bien souvent hasardeux de considérer comme appartenant à une même espèce des Insectes de même provenance mais de sexe différent. Nous estimons qu'en de tels cas il est plus rationnel de décrire ♂ et ♀ sous des appellations spécifiques différentes de sorte qu'une simple mise en synonymie suffise, le cas échéant, à rétablir l'ordre des choses. Certains couples spécifiques de la littérature ne sont vraisemblablement pas valides et compliquent l'étude du groupe.

Répartition des Mnesicleinae aux Philippines

	Basilan	Leyte	Luzon	Masbate	Mindanao	Mindoro	Palawan	Samar	San Miguel ?	Sibuyan
Chromomnesicles					+					
Hyalomnesicles								+		
Lobiacris		+			+			+ +		
Loximnesicles			+ +		+					
Mnesicles	+		+ +		+ + +					
Mnesiclesiella			+ +			+				
Mnesiclesina (?)		+		+	+			+ +		
Paramnesicles					+			+		
Philippinacridium		+					+		+	
Samaria								+ +		
Sibuyania										+
Xenomnesicles								+		
Total des genres	1	3	3	1	6	1	1	6	1	1
Total des espèces	1	3	6	1	8	1	1	9	1	1

Le matériel étudié comporte 9 espèces représentées uniquement par des ♀ qu'il est impossible de rapporter à un genre connu avec certitude des Philippines. L'une d'elles représente à coup sûr un genre nouveau : *Hyalomnesicles* ; trois autres pour lesquelles nous créons le genre *Loximnesicles* s'écartent de tout ce qui est connu par la structure des valves de l'oviscapte. Enfin nous classons, avec réserve, les quatre dernières, en raison de la structure de la plaque sous-génitale, dans le genre *Mnesiclesina* connu de Nouvelle-Guinée.

Elles constituent un ensemble artificiel et correspondent peut-être aux genres philippins actuellement connus par le ♂ seulement : *Philippinacridium*, *Chromomnesicles*, *Xenomnesicles* ou à d'autres genres endémiques à découvrir.

Clé des genres

1 (50) Insectes ailés, macroptères ou légèrement brachyptères..... 2
2 (5) Abdomen ♂ pourvu de spécialisations sur plusieurs tergites..... 3

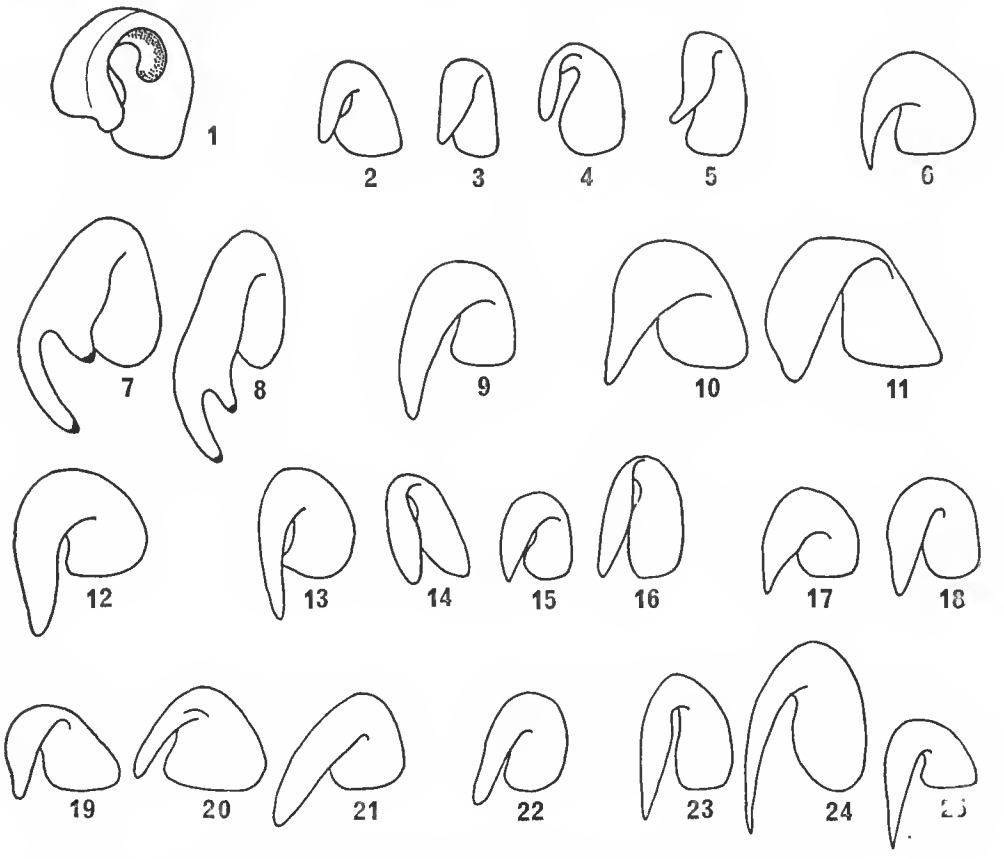

Fig. 1-25. — Cerques ♂ de Mnesicleinae, vus dorsalement.
1, *Sibuyania formidabilis* n. gen., n. sp. ; 2, *Paramnesicles buergersi* (C. Bolívar, 1925) ; 3, *P. equatorialis* (Blackith, 1973) ; 4, *P. moluccensis* (C. Bolívar, 1930) ; 5, *P. samariensis* n. sp. ; 6, *Samariella bakeri* n. gen., n. sp. ; 7, *Mnesiclesiella crassipes* (Karsch, 1889) ; 8. *M. horni* (C. Bolívar, 1931) ; 9, *Xenomnesicles membranaceus* n. gen., n. sp. ; 10, *Mnesiclesina furcata* (Saussure, 1903) ; 11, *M. stylata* (C. Bolívar, 1931) ; 12, *M. saussurei* (C. Bolívar, 1914) ; 13, *Mnesicles mazarredoi* C. Bolívar, 1930 ; 14, *M. modestus* Stål, 1877 ; 15, *M. saobensis* n. sp. ; 16, *M. trifidus* n. sp. ; 17, *Philippinacridium brachypterum* Descamps, 1974 ; 18 *P. lobatum* Descamps, 1974 ; 19, *Pseudomnesicles milleri* (Ramme, 1940) ; 20, *P. plagiator* (Ramme, 1940) ; 21, *P. roseosignatus* (Brunner, 1898) ; 22, *Chromomnesicles rubrithorax* n. gen., n. sp. ; 23, *Lobiacris catbalogana* n. sp. ; 24, *L. spinosa* n. sp. ; 25, *L. stenoptera* Descamps, 1974.

3 (4) ♂. Premier tergite abdominal prolongé vers l'arrière par un grand lobe tronqué ; tergite 8 à forte saillie dorsale ; dernier tergite non divisé en 3 parties.
♀. Premier tergite abdominal faisant saillie au-dessus du suivant (C. Bolívar, 1944, fig. 4). Bornéo..... *Borneacridium* Kevan, 1963

4 (3) ♂. Premier et 2e tergites abdominaux à crête dorsale saillante ; 4e et 5e tergites à pointe latéro-postérieure ; tergite 8 sans saillie dorsale et dernier tergite divisé en 3 parties (C. Bolívar, 1944, fig. 3).
♀. Premier tergite abdominal à carène médiane saillante. Bornéo..... *Tuberomastax* C. Bolívar, 1944

5 (2) Abdomen non spécialisé, exceptionnellement (*Sibuyania*) à crête élevée sur les 2 premiers tergites 6

6 (7) Carènes dorso-médiane et dorso-externe des fémurs postérieurs armées de fortes épines odontiformes ; cerques ♂ coudés à angle droit vers l'intérieur (Willemse, 1938, fig. 5). Bornéo. ..... *Odontomastax* C. Bolívar, 1944

7 (6) Carènes dorso-médiane et dorso-externe des fémurs postérieurs armées d'épines plus fines et plus petites..... 8

8 (31) Mâles 9

9 (10) Cerques coudés dorsalement en angle droit (vision latérale) ; nervures costale et cubitale postérieure très fortement épaissies sur le tiers basal des élytres ; plaque sus-anale à 2 fortes saillies bifides (fig. 26). Philippines..... *Sibuyania* n. gen., p. 1658

10 (9) Cerques coudés à angle aigu vers l'intérieur ; nervures costale et cubitale postérieure des élytres non épaissies ; plaque sus-anale non spécialisée..... 11

11 (12) Élytres transparents, le bord antérieur excurvé vers l'extrémité (C. Bolívar, 1931, fig. 2, 3) ; ailes allongées : rapport longueur/largeur maximale = 1,7-2,5. Bornéo, Péninsule Malaise, Mentawei..... *Uvarovia* C. Bolívar, 1930

12 (11) Élytres colorés ou opaques, au moins à la partie basale, le bord antérieur rectiligne vers l'extrémité ; ailes subcycloïdes : rapport longueur/largeur maximale = 1,3-1,5 (C. Bolívar, 1931, fig. 1)..... 13

13 (14) Fémurs antérieurs à forte saillie conique basale sur la face externe. Nouvelle-Guinée, Philippines..... *Paramnesicles* Descamps, 1974, p. 1660

14 (13) Fémurs antérieurs sans saillie conique à la base de la face externe..... 15

15 (16) Cerques à extrémité fourchue (fig. 7, 8). (♀ inconnue). Philippines..... *Mnesiclesiella* Descamps, 1974, p. 1665

16 (15) Cerques à extrémité simple, non fourchue (fig. 9-25)..... 17

17 (18) Fastigium du vertex large, trapézoïdal, à bords latéraux divergents vers l'arrière (fig. 72). Philippines ..... *Samariella* n. gen., p. 1667

18 (17) Fastigium du vertex étroit, à bords latéraux parallèles ou subparallèles..... 19

19 (20) Plaque sous-génitale à très grande aire membraneuse médiane atteignant presque le bord antérieur (fig. 79,81). (♀ inconnue). Philippines..... *Xenomnesicles* n. gen., p. 1670

20 (19) Plaque sous-génitale sans aire membraneuse..... 21

21 (26) Dernier tergite divisé en 3 parties ; partie médiane plus ou moins grande, faisant saillie au-dessus de la plaque sus-anale au moins sous la forme de 2 petites pointes juxta-médianes. 22

22 (23) Parties latérales du dernier tergite abdominal à fort appendice à extrémité aiguë (fig. 86, 88, 93). Nouvelle-Guinée, Philippines (?).... *Mnesiclesina* Descamps, 1974, p. 1671

23 (22) Parties latérales du dernier tergite sans appendice..... 24

24 (25) Lobes latéraux de la plaque sous-génitale à forte saillie subapicale à la face interne ou à angle supérieur (vision latérale) plus ou moins saillant vers l'intérieur (fig. 118, 127) ; dans le cas contraire, parties latérales du dernier tergite plus longues que larges. Extrémité de l'endophalle étroite, tubuliforme (fig. 111, 129). Philippines..... *Mnesicles* Stål, 1877, p. 1677

25 (24) Lobes latéraux de la plaque sous-génitale sans saillie subapicale à la face interne ; parties latérales du dernier tergite subcarrées (fig. 131). Extrémité de l'endophalle large (fig. 138). (♀ inconnue). Philippines..... *Philippinacridium* Descamps, 1974, p. 1683

26 (21) Dernier tergite abdominal à partie médiane plus ou moins visible dorsalement, ne faisant jamais saillie au-dessus de la plaque sus-anale..... 27

27 (30) Cerques à partie apicale plus ou moins longue, toujours largement arrondie à l'apex (fig. 19-22). Complexe phallique à repli dorsal fortement saillant vers l'arrière, bien sclérifié et formant une pièce généralement bien séparée du reste (fig. 141)..... 28

28 (29) Face ventrale de la plaque sous-génitale à carène ne dépassant pas le milieu de la distance comprise entre l'extrémité et le bord postérieur du 8e sternite ; bord interne des parties latérales du dernier tergite épineux. Célèbes..... *Pseudomnesicles* Descamps, 1974

29 (28) Plaque sous-génitale fissurée jusqu'à la base ; bord interne des parties latérales du dernier tergite inerme (fig. 140, 144). (♀ inconnue). Philippines..... *Chromomnesicles* n. gen., p. 1685

30 (27) Cerques à partie apicale toujours longue, très aiguë à l'apex (fig. 23-25). Complexe phallique à repli dorsal peu saillant vers l'arrière, peu sclérifié, ne formant pas de pièce séparée (fig. 153, 157). Philippines..... *Lobiacris* Descamps, 1974, p. 1687

31 (8) Femelles 32

32 (33) Bord antérieur des élytres excurvé vers l'extrémité ; ailes allongées : rapport longueur/largeur maximale = 1,7-2,5 (C. Bolívar, 1931, fig. 2, 3). Bornéo, Péninsule Malaise, Mentawei. ..... *Uvarovia* C. Bolívar, 1930

33 (32) Bord antérieur des élytres rectiligne vers l'extrémité ; ailes subcycloïdes : rapport longueur/largeur maximale = 1,3-1,5 (C. Bolívar, 1931, fig. 1)..... 34

34 (37) Valves de l'oviscapte longues ; valves inférieures à face ventrale non triangulaire, traversée par quelques crêtes transverses (fig. 28, 168)..... 35

35 (36) Champ anal de l'élytre brusquement rétréci un peu avant le milieu ; bord postérieur de la plaque sous-génitale à petite saillie médiane (fig. 28). Philippines..... *Sibuyania* n. gen., p. 1658

36 (35) Champ anal de l'élytre progressivement rétréci vers l'arrière ; bord postérieur de la plaque sous-génitale trilobé (fig. 168, 169). (♂ inconnu). Philippines..... *Loximnesicles* n. gen., p. 1692

37 (34) Valves de l'oviscapte plus courtes ; valves inférieures à face ventrale triangulaire, se rétrécissant progressivement de la base vers l'extrémité, dépourvue de crêtes transverses (fig. 39, 55)..... 38

38 (39) Fastigium du vertex très large, trapézoïdal, à bords latéraux divergents vers l'arrière (fig. 75). Philippines..... *Samariella* n. gen., p. 1667

39 (38) Fastigium du vertex moins large, subrectangulaire à subcarré, à bords latéraux parallèles..... 40

40 (41) Élytres transparents ; profil de la face incurvé ; valves supérieures de l'oviscapte considérées de profil à bord externe très fortement arqué, armé de dents courbées vers l'avant (fig. 173, 174). (♂ inconnu). Philippines..... *Hyalomnesicles* n. gen., p. 1694

41 (40) Élytres au moins en partie coriacés ; profil de la face subrectiligne ; valves supérieures de l'oviscapte considérées de profil à bord externe moins arqué, armé de dents non courbées (fig. 40, 54)..... 42

42 (43) Plaque sous-génitale bilobée (fig. 39) ou (*P. novaeguineae*) à lobes latéraux très larges encadrant un petit lobe médian triangulaire (fig. 41).
Cerques relativement longs à extrémité très aiguë. Nouvelle-Guinée, Philippines..... *Paramnesicles* Descamps, 1974, p. 1660

43 (42) Plaque sous-génitale d'un autre type..... 44

44 (45) Plaque sous-génitale simple ou à bord postérieur ondulé (fig. 95, 97), exceptionnellement

(*M. stylata*) à lobes latéraux longs et larges encadrant un petit lobe médian trapézoïdal. Nouvelle-Guinée, Philippines (?)..... *Mnesiclesina* Descamps, 1974, p. 1671

45 (44) Plaque sous-génitale trilobée ou à bord postérieur légèrement incurvé au milieu.... 46

46 (47) Plaque sous-génitale à 3 lobes triangulaires (fig. 163). Philippines..... *Lobiacris* Descamps, 1974, p. 1687

47 (46) Plaque sous-génitale à lobe médian non triangulaire ou à bord postérieur légèrement incurvé au milieu..... 48

48 (49) Lobe médian plus large que les lobes latéraux à bord postérieur arqué (fig. 107) ou tronqué, dans ce cas lobes latéraux plus longs que le lobe médian (fig. 116) ; cerques courts. Philippines. ..... *Mnesicles* Stål, 1877, p. 1677

49 (48) Lobe médian tronqué et lobes latéraux courts ou partie médiane du bord postérieur incurvé. Célèbes. ..... *Pseudomnesicles* Descamps, 1974

50 (1) Insectes aptères..... 51

51 (52) Fastigium du vertex subhorizontal ; fémurs postérieurs à carènes inféro-médiane et inféro-externe denticulées. Nouvelle-Guinée..... *Adrapetes* Karsch, 1889

52 (51) Fastigium du vertex saillant en oblique au-dessus de l'œil ; fémurs postérieurs à carènes inférieures lisses. Célèbes..... *Karnydia* C. Bolívar, 1930

Genre **SIBUYANIA** nov.

♂. Fastigium du vertex, considéré dorsalement, un peu élargi et fissuré à l'extrémité. Écusson interantennaire large, à bords latéraux excurvés. Profil de la face subrectiligne au-dessous des antennes.

Élytres transparents au-delà du quart basal ; bord antérieur, nervures costale, sous-costale, radiale et médiane très fortement excurvées ; costale et cubitale postérieure très fortement épaissies sur le tiers basal ; champ médian très large ; champ anal brusquement rétréci à l'arrière. Trois épines apicales sur la face externe du 1er article des tarses postérieurs.

Une crête élevée sur les 1er et 2e tergites abdominaux, encore visible mais moins haute sur la moitié antérieure du 3e. Tergites 9 et 10 fusionnés, l'ensemble divisé en 3 parties : partie dorsale élevée, formant dôme au-dessus de la plaque sus-anale ; parties latérales simples. Plaque sus-anale à 2 fortes saillies bifides au niveau de la côte transverse. Cerques hélicoïdaux, l'extrémité non nettement bifide, orientée dorsalement en vision latérale. Plaque sous-génitale très fortement courbée dorsalement, presque coudée à angle droit, les lobes latéraux courts et épais.

Genitalia internes extrêmement complexes. Couche épiphallique déportée latéralement et ventralement ; éphiphalle bien différencié, de très petite taille, en position antérieure, à grands lophi en crochet, réuni à une apophyse ventrale de l'ectophalle par un connectif élastique très épais (C). Couche ectophallique composée de plusieurs pièces fortement sclérifiées, connectées par des aires membraneuses : 2 pièces dorso-latérales à apophyse ventrale (A) courbée vers l'avant à l'extrémité ; 1 pièce dorso-médiane à apophyse ventrale (B) connectée avec la précédente à l'extrémité et servant de point d'attache au connectif épiphallique ; 1 pièce dorso-apicale subtrapézoïdale moins sclérifiée et recouvrant l'ouverture génitale. Ouverture génitale (O) en position dorsale ; une évagination membraneuse (E) en position dorso-médiane. Pénis (P) en position apicale, perpendiculaire à l'axe longitudinal du complexe.

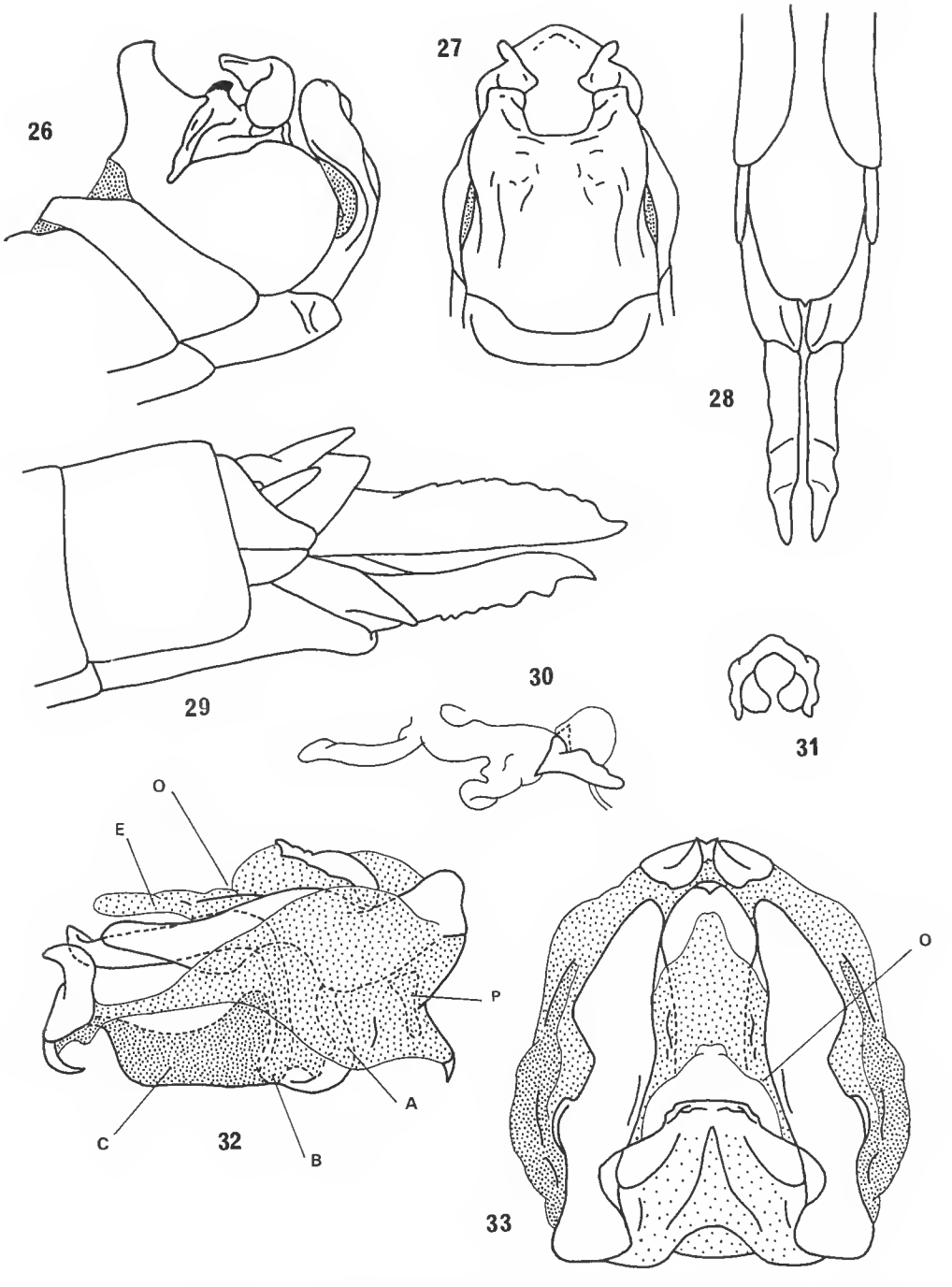

Fig. 26-33. — *Sibuyania formidabilis* n. gen., n. sp., ♂, ♀.
26, extrémité abdominale ♂, vue latérale ; 27, la même en vue ventro-apicale ; 28, extrémité abdominale ♀, vue ventrale ; 29, *id.*, vue latérale ; 30, endophalle, vue latérale ; 31, pénis, vue dorsale ; 32, complexe phallique, vue latérale ; 33, *id.*, vue dorsale. Abréviations dans le texte.

♀. Fastigium du vertex non incisé à l'extrémité. Champ médian de l'élytre élargi mais moins que chez le ♂ ; champ anal brusquement rétréci. Cerques rectilignes, plus de 2 fois plus longs que larges, l'extrémité largement arrondie. Plaque sous-génitale rétrécie vers l'arrière, à petite saillie médiane du bord postérieur. Valves de l'oviscapte longues ; face ventrale des valves inférieures à bords subparallèles, traversée par 2 crêtes transverses.

Espèce-type du genre : *Sibuyania formidabilis* n. sp.

Sibuyania formidabilis n. sp.
(Fig. 1, 26-33)

♂. Holotype. Extrémité des élytres atteignant tout juste l'extrémité du fémur postérieur. Partie médiane du dernier tergite fortement redressée, à bord postérieur excurvé, armée de 2 petites épines latéro-postérieures ; parties latérales subcarrées, bombées, à bord postérieur largement arqué.

Deux bandes sous-oculaires noires longeant intérieurement les carinules latérales de la face : 2 taches brun-noir juxta-médianes sur le disque du pronotum. Base des élytres marquée de noir. Fémurs postérieurs monochromes.

Complexe phallique comme représenté aux figures 30-33.

♀. Allotype. Bandes noires de la face moins marquées que chez le ♂. Une plage latérale noire sur le 8e tergite abdominal. Extrémité de la plaque sous-génitale noire. Aire médiane externe des fémurs postérieurs à carènes marquées de petits traits noirs ; extrémité des fémurs brunie ; un anneau préapical clair. Tibias postérieurs bruns annelés de clair.

	Élytre	Fémur postérieur	Pronotum
1 ♂	11,5	10,0	2,8
1 ♀	14,5	11,9	3,1

Philippines : Sibuyan, 1 ♂ holotype, 1 ♀ allotype (*Baker*). Académie de Philadelphie.

Genre **PARAMNESICLES** Descamps, 1974

Descamps, 1974 : 1040-1042.

Le genre *Paramnesicles* n'était connu à ce jour que de Nouvelle-Guinée, des Moluques et de l'Archipel Bismarck. Les 2 espèces ci-dessous décrites en provenance de Samar et de Mindanao contribuent à étendre considérablement l'aire de répartition qui chevauche la ligne Wallace.

Le genre se caractérise comme suit :

Fémurs antérieurs ♂ à forte saillie basale sur la face externe.

Cerques ♂ à partie apicale plus courte que la partie basale ou de longueur subégale (fig. 2-5).

Partie médiane du dernier tergite abdominal ♂ faisant saillie au-dessus de la plaque sus-anale.

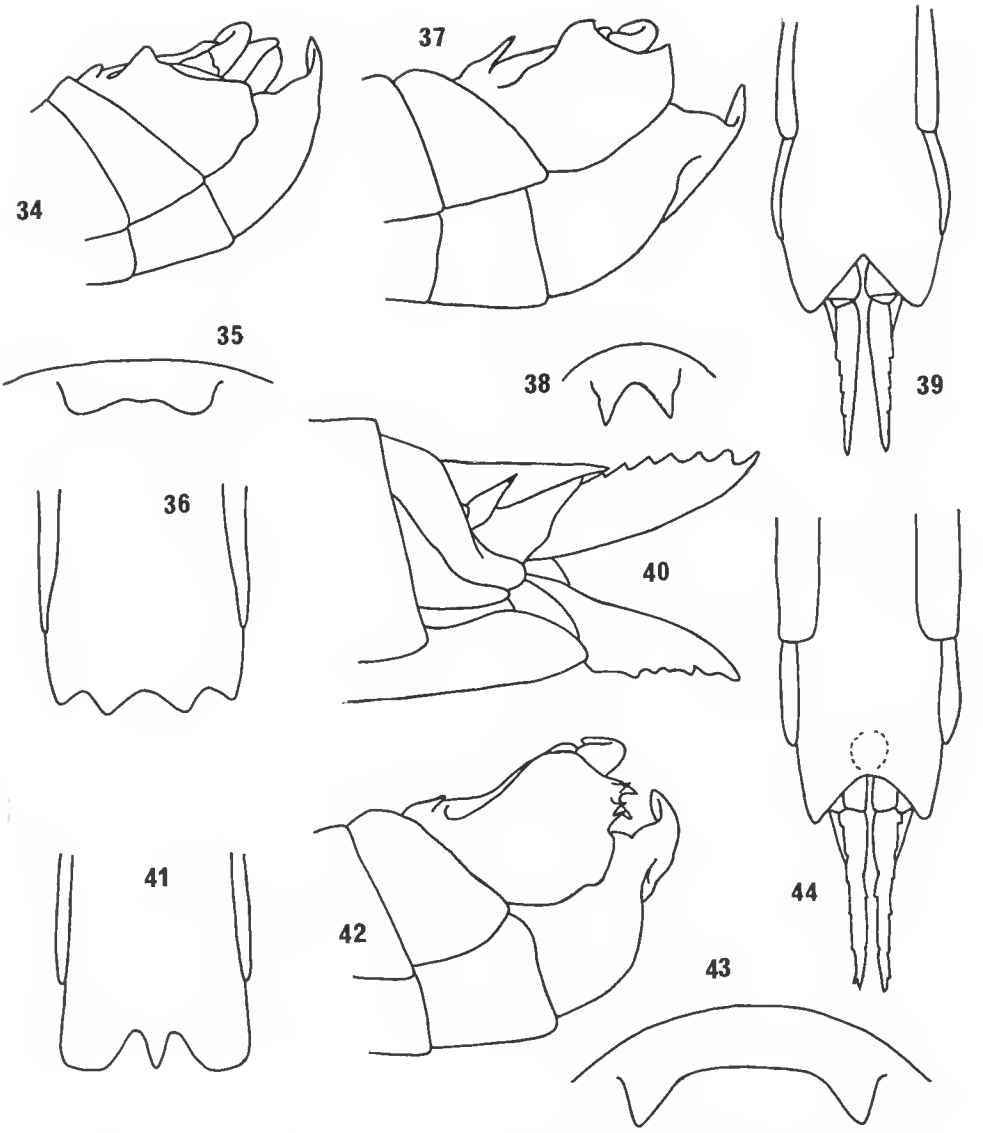

Fig. 34-36. — *Paramnesicles buergersi* (C. Bolívar, 1925), ♂ holotype, ♀.
34, extrémité abdominale ♂, vue latérale ; 35, partie médiane du dernier tergite abdominal ♂, vue dorsale ; 36, plaque sous-génitale ♀, vue ventrale (d'après C. Bolivar, 1925).

Fig. 37-40. — *Paramnesicles equatorialis* (Blackith, 1973), ♂ holotype, ♀ allotype.
37, extrémité abdominale ♂, vue latérale ; 38, partie médiane du dernier tergite abdominal ♂, vue dorsale ; 39, extrémité abdominale ♀, vue ventrale ; 40, *id.*, vue latérale.

Fig. 41. — *Paramnesicles novaeguineae* (C. Bolívar, 1914),
plaque sons-génitale ♀, vue ventrale (d'après C. Bolivar, 1914).

Fig. 42-43. — *Paramnesicles moluccensis* (C. Bolivar, 1930), ♂ holotype.
42, extrémité abdominale, vue latérale ; 43, partie médiane du dernier tergite abdominal.

Fig. 44. — *Paramnesicles amboinensis* (C. Bolivar, 1930),
♀ allotype, extrémité abdominale, vue ventrale.

Complexe phallique à plaque dorsale très fortement selérifiée (épiphalle atypique), réunie à la cavité générale par une membrane fixée près de son bord postérieur (fig. 48, 49).

Pénis triangulaire en vision latérale (fig. 51).

Plaque sous-génitale ♀ à extrémité bilobée (fig. 39, 44).

Espèce-type du genre : *Mnesicles buergersi* C. Bolivar, 1925.

Clé des espèces (♂)

1 (10) Dernier tergite abdominal à partie dorso-médiane formant une pièce transverse bilobée ou bidentée ; parties latérales non fortement bosselées..... 2

2 (3) Parties latérales du dernier tergite abdominal dépourvues d'épines ou de saillies à extrémité spiniforme ; partie médiane à 2 lobes très courts et à extrémité arrondie (fig. 34, 35). Nouvelle-Guinée. ..... *P. buergersi* (C. Bolivar, 1925)

3 (2) Parties latérales du dernier tergite abdominal à une ou plusieurs épines ou saillies à extrémité spiniforme ; partie médiane à 2 lobes bien saillants à extrémité plus ou moins aiguë (fig. 37, 38)..... 4

4 (5) Parties latérales du dernier tergite à angle postéro-interne largement arrondi et angle postéro-externe armé d'un groupe de 4-5 épines de petite taille et très rapprochées (fig. 42). Moluques. ..... *P. moluccensis* (C. Bolívar, 1930)

5 (4) Parties latérales du dernier tergite à angle postéro-interne spiniforme ; une seule épine à l'angle postéro-externe ou un peu au-dessus..... 6

6 (7) Épines des parties latérales du dernier tergite très courtes, en forme de petite saillie à extrémité aiguë (fig. 37). Archipel Bismarck..... *P. equatorialis* (Blackith, 1973)

7 (6) Épines des parties latérales du dernier tergite beaucoup plus longues..... 8

8 (9) Épine inférieure plus longue que la supérieure et située dans le prolongement du bord externe (C. Bolívar, 1930, fig. 93). Moluques.... *P. amboinensis* (C. Bolívar, 1930)

9 (8) Épine inférieure plus courte que la supérieure et située au-dessus de l'angle postéro-externe (C. Bolívar, 1930, fig. 98). Nouvelle-Guinée.... *P. novaeguineae* (C. Bolívar, 1914)

10 (1) Dernier tergite abdominal à partie dorso-médiane formant une pièce bien plus longue que large à extrémité bifide ; parties latérales très grandes, bosselées et plurilobées (fig. 45-47). (♀ inconnue). Philippines..... *P. samariensis* n. sp.

Clé des espèces (♀)

1 (8) Plaque sous-génitale à angles latéro-postérieurs faisant saille sous forme de 2 lobes plus ou moins longs (fig. 39)..... 2

2 (7) Lobes de la plaque sous-génitale n'atteignant pas ou dépassant peu la base des valves inférieures de l'oviscapte..... 3

3 (4) Lobes de la plaque sous-génitale très courts ; valves de l'oviscapte plus courtes, à face ventrale plus large à la base (fig. 55). (♂ inconnu). Philippines.... *P. secretus* n. sp.

4 (3) Lobes de la plaque sous-génitale très nettement plus longs ; valves de l'oviscapte plus longues, à face ventrale moins large à la base (fig. 39)..... 5

5 (6) Lobes de la plaque sous-génitale plus longs, séparés par une découpure triangulaire plus étroite (fig. 39). Archipel Bismarck..... *P. equatorialis* (Blackith, 1973)

6 (5) Lobes de la plaque sous-génitale plus courts, séparés par une découpure plus large en forme de segment circulaire (fig. 44). Moluques..... *P. amboinensis* (C. Bolívar, 1930)

7 (2) Lobes de la plaque sous-génitale de très grande taille, atteignant presque l'extrémité des valves inférieures de l'oviscapte (C. Bolívar, 1930, fig. 92). Moluques..... *P. moluccensis* (C. Bolívar, 1930)

8 (1) Plaque sous-génitale d'un autre type 9
9 (10) Plaque sous-génitale à 2 lobes latéraux larges et peu saillants vers l'arrière, séparés par un petit lobe triangulaire (fig. 41). Nouvelle-Guinée.. *P. novaeguineae* (C. Bolívar, 1914)
10 (9) Plaque sous-génitale à 2 lobes juxta-médians peu saillants vers l'arrière (fig. 36). Nouvelle-Guinée. ..... *P. buergersi* (C. Bolívar, 1925)

Paramnesicles samariensis n. sp.

(Fig. 5, 45-53)

♂. Holotype. Fastigium du vertex à bords rigoureusement parallèles, l'extrémité excisée. Profil de la face rectiligne. Extrémité des élytres atteignant presque l'extrémité des genoux postérieurs. Quatre épines apicales à la face externe du 1er article des tarses postérieurs. Partie médiane du dernier tergite abdominal plus longue que large, déprimée longitudinalement, rétrécie vers l'arrière, l'extrémité bilobée ; parties latérales de grande taille, plus longues que larges, à bord supérieur très fortement sinué en vision dorsale, le bord postérieur trilobé, à lobe médian aigu. Plaque sus-anale longue et étroite. Cerques courts, la partie apicale courbée vers l'intérieur, à extrémité aiguë. Lobes latéraux de la plaque sous-génitale courts, coudés dorsalement à angle droit.

Face et joues jaunes ; dessus de la tête brun à plage médiane claire. Disque du pronotum à bande longitudinale brunâtre. Base de l'élytre marquée de rouge sur le champ précostal et les 3 premières nervures. Tibias postérieurs rougeâtres.

Complexe phallique comme représenté aux figures 48-52. Épiphalle à extrémité bifide, à 2 branches latérales épineuses à l'apex. Ouverture génitale en position ventro-apicale. Pénis en U à soudure ventrale.

	Élytre	Fémur postérieur	Pronotum
1 ♂	11,3	10,1	2,5

Philippines : Samar, 1 ♂ holotype (*Baker*). Académie de Philadelphie.

Paramnesicles secretus n. sp.

(Fig. 54-55)

♀. Holotype. Extrémité des élytres n'atteignant pas tout à fait la base des lobes génieulaires postérieurs. Quatre épines apicales à la face externe du 1er article des tarses postérieurs. Angle latéro-postérieur du dernier tergite un peu trouqué en oblique. Cerques plus de 2 fois plus longs que larges à la base, l'extrémité très aiguë. Bords latéraux du 8e tergite excurvés. Plaque sous-génitale à extrémité bilobée ; lobes courts à bord postérieur très largement arqué, largement séparés par une découpure à bord antérieur rectiligne. Valves de l'oviscapte de longueur moyenne pour le groupe ; bord interne des valves supérieures visible latéralement à la partie antérieure ; supports basaux des valves inférieures à bord externe peu redressé.

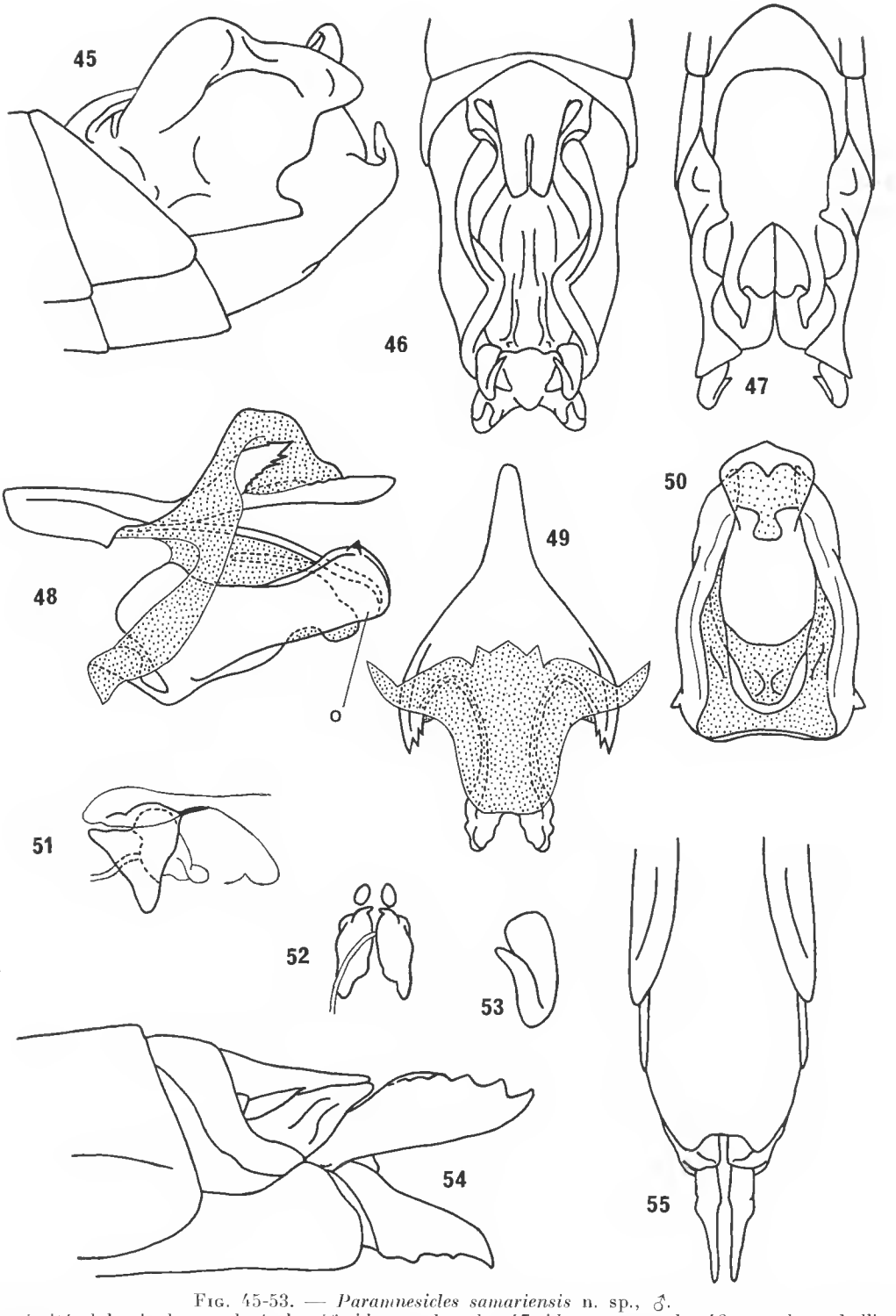

Fig. 45-53. — *Paramnesicles samariensis* n. sp., ♂.
45, extrémité abdominale, vue latérale ; 46, *id.*, vue dorsale ; 47, *id.*, vue ventrale ; 48, complexe phallique, vue latérale, O, ouverture génitale ; 49, épiphalle, vue dorsale ; 50, complexe phallique, vue ventrale ; 51, endophalle, vue latérale ; 52, pénis, vue dorsale ; 53, cerque, vue dorsale.

Fig. 54-55. — *Paramnesicles secretus* n. sp., ♀.
54, extrémité abdominale, vue latérale ; 55, *id.*, vue ventrale.

Une petite tache transverse de coloration brune sur le bord antérieur du disque du pronotum. Fémurs postérieurs monochromes à croissant géniculaire brun et anneau prégéniculaire brunâtre peu marqué.

	Élytre	Fémur postérieur	Pronotum
2 ♀	14,3-14,5	13,6-13,8	3,6-3,7

Philippines : Mindanao, Surigao, 1 ♀ holotype, 1 ♀ paratype (*Baker*). Académie de Philadelphie et Muséum national, Paris.

Genre **MNESICLESIELLA** Descamps, 1974

Descamps, 1974 : 1042.

Le genre *Mnesiclesiella* n'est connu à ce jour que par 2 espèces provenant des îles septentrionales de l'archipel des Philippines : Luzon et Mindoro.

Le genre se caractérise comme suit :

Cerques ♂ à partie apicale longue et bifide (fig. 7-8).

Partie médiane du dernier tergite ♂ transverse, recouvrant la base de la plaque sus-anale (fig. 60, 65).

Plaque sous-génitale ♂ fortement courbée dorsalement, à lobes latéraux courts et épais (fig. 56).

Pas de véritable épiphalle mais 2 ergots dorso-antérieurs (fig. 61).

Pénis à branches bifides en vision dorsale (fig. 64).

Espèce-type du genre : *Mnesicles crassipes* Karsch, 1889.

Clé des espèces (♂)

1 (2) Partie postérieure des cerques, considérée dorsalement, à bord interne fortement excurvé et dent apicale plus longue ; partie dorso-médiane du dernier tergite à saillie médiane longue et aiguë (fig. 7, 65) ; joues marquées de brun..... *M. crassipes* (Karsch, 1889)

2 (1) Partie postérieure des cerques, considérée dorsalement, à bord interne peu excurvé et dent apicale moins longue ; partie dorso-médiane du dernier tergite à saillie médiane courte et émoussée (fig. 8, 60) ; joues monochromes..... *M. horni* (C. Bolívar, 1931)

Mnesiclesiella crassipes (Karsch, 1889)
(Fig. 7, 65-66)

Mnesicles crassipes Karsch, 1889 : 28. — C. Bolívar, 1930 : 174, fig. 87-90.
Mnesiclesiella crassipes (Karsch, 1889) ; Descamps, 1974 : 1042, fig. 23-29.

Localité-type : Philippines, Luzon, holotype ♂, Muséum de Berlin.

L'espèce n'est connue que par le type.

Mnesiclesiella horni (C. Bolívar, 1931)
(Fig. 8. 56-64)

Mnesicles horni C. Bolívar, 1931 : 293, fig. 2, 5-6.
Mnesiclesiella horni (C. Bolívar, 1931) ; Descamps, 1974 : 1042.

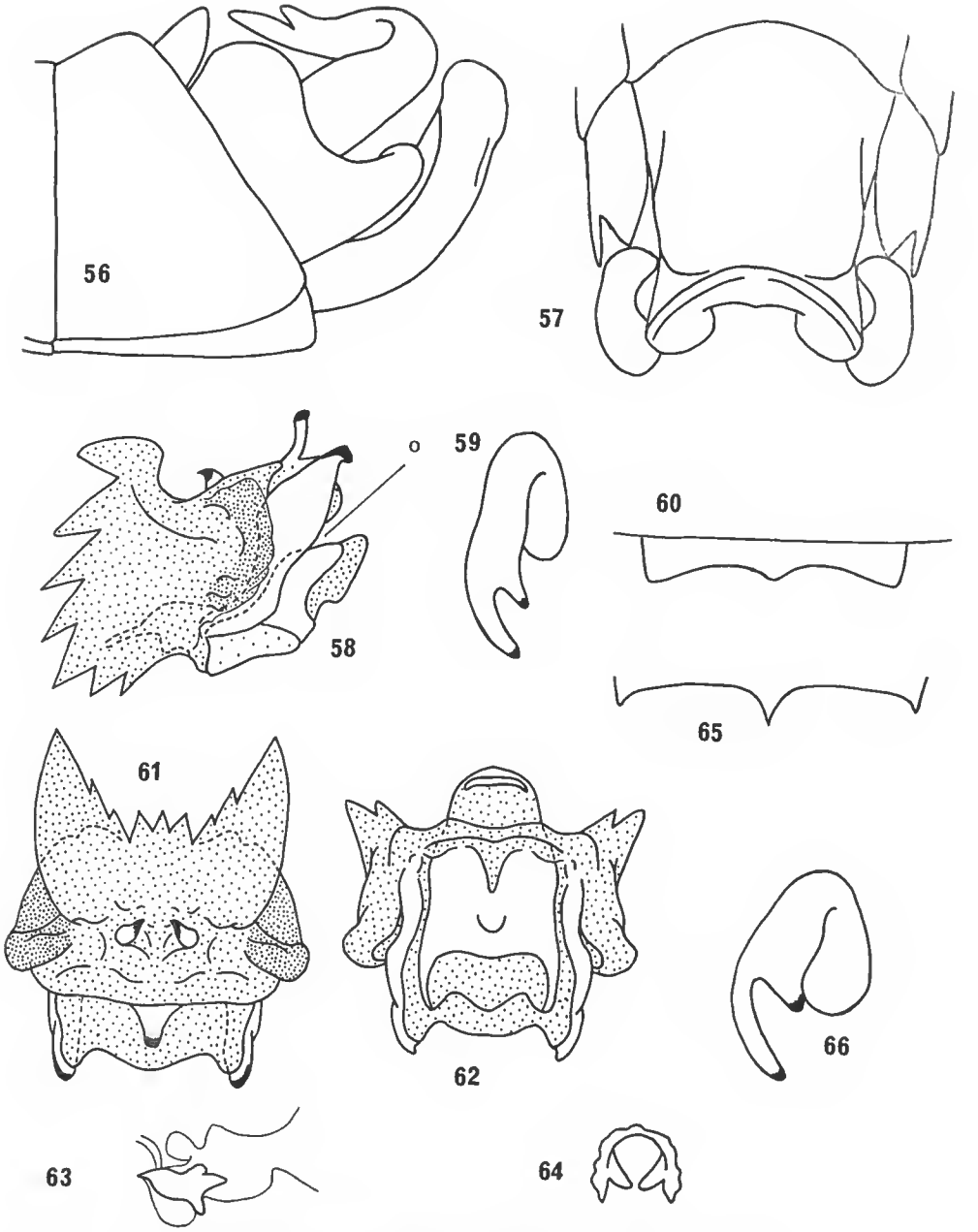

Fig. 56-64. — *Mnesiclesiella horni* (C. Bolívar, 1931), ♂.
56, extrémité abdominale, vue latérale ; 57, *id.*, vue ventrale ; 58, complexe phallique, vue latérale, O, ouverture génitale ; 59, cerque, vue dorsale ; 60, partie médiane du dernier tergite abdominal ; 61, complexe phallique, vue dorsale ; 62, *id.*, vue ventrale ; 63, endophalle, vue latérale ; 64, pénis, vue dorsale.

Fig. 65-66. — *Mnesiclesiella crassipes* (Karsch, 1889), ♂ holotype.
65, partie médiane du dernier tergite abdominal ; 66, cerque, vue dorsale.

Localité-type : Philippines, S. W. Luzon, holotype ♂, Muséum de Madrid.

La présence d'un exemplaire ♂ dans le matériel à notre disposition nous a permis d'étudier le complexe phallique qui diffère sensiblement de celui de *M. crassipes*.

Deux ergots fortement sclérotinisés et non connectés (représentant peut-être l'épiphalle) en position dorso-antérieure. Ectophalle membraneux armé de 2 pièces sclérifiées en U, articulées à la partie antérieure comme des mâchoires ; une apophyse dorsale entre les extrémités de la pièce supérieure ; ouverture génitale située au plafond de la machoire inférieure (cf. fig. 58).

	Élytre	Fémur postérieur	Pronotum
1 ♂	8,6	9,3	2,7

Philippines : Mindoro, Subaan, 1 ♂. Académie de Philadelphie.

Genre **SAMARIELLA** nov.

♂. Capsule céphalique, considérée frontalement, fortement rétrécie vers le bas ; face bosselée ; carinules médianes déclables sur toute la longueur, formant une ellipse entre l'écusson interantennaire et le triangle supra-clypéal. Profil de la face subrectiligne au-dessous des antennes. Fastigium du vertex de largeur subégale à la longueur du scape et du pédicelle antennaire réunis, l'extrémité tronquée, les bords latéraux divergents vers l'arrière.

Bord postérieur du disque du pronotum peu saillant vers l'arrière. Angle postéro-externe des lobes métasternaux mucroné. Élytres coriacés, à réticulum dense. Fémurs antérieurs et médians courts et très larges. Tibias postérieurs fortement courbés, comprimés latéralement à la base ; épines du bord interne relativement grandes, de taille croissante des extrémités vers le milieu. Quatre épines apicales à la face externe du 1er article des tarses postérieurs.

Dernier tergite abdominal à partie médiane transverse recouvrant la base de la plaque sus-anale ; parties latérales simples, quadrangulaires. Cerques courts ; partie basale très épaisse ; partie apicale à extrémité aiguë, pas plus longue que la partie basale. Plaque sous-génitale convexe, à lobes latéraux en forme de corne redressée en angle droit.

Complexe phallique proche de celui du genre *Philippinacridium*, de petite taille, sans épiphalle différencié. Face dorsale moyennement sclérifiée, à bord postérieur arqué, bien saillant vers l'arrière et masquant l'ouverture génitale ; une pièce sclérifiée, en arceau, de structure complexe, en position latéro-apicale ; bord antérieur à lobe latéral moyennement sclérifié. Pénis perpendiculaire à l'axe longitudinal du complexe, situé à la partie antérieure, l'extrémité prolongée par une pièce sclérifiée en gouttière à concavité dorsale (cf. fig. 70, 73).

♀. Fastigium du vertex de largeur subégale à la longueur des 5 premiers articles antennaires réunis. Capsule céphalique non rétrécie vers le bas ; écusson interantennaire très large. Élytres très densément réticulés. Cerques subconiques, pas plus de 2 fois plus longs que larges, l'extrémité arrondie. Plaque sous-génitale à extrémité trilobée. Valves de l'oviscapte courtes ; bord interne des valves supérieures et des valves inférieures visible latéralement.

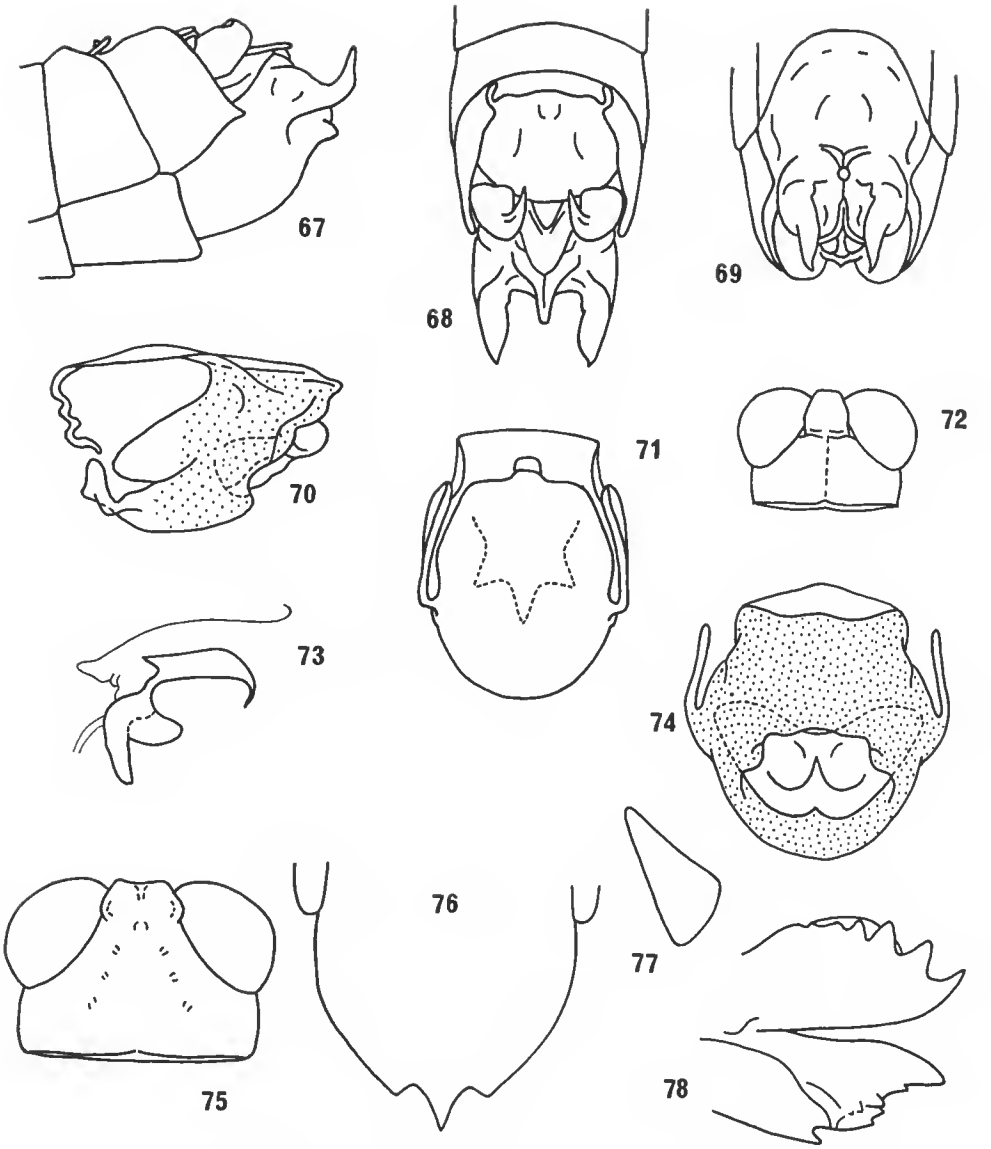

Fig. 67-74. — *Samariella bakeri* n. gen., n. sp., ♂.
67, extrémité abdominale, vue latérale ; 68, *id.*, vue dorsale ; 69, *id.*, vue ventrale ; 70, complexe phallique, vue latérale ; 71, *id.*, vue dorsale ; 72, capsule céphalique, vue dorsale ; 73, endophalle, vue latérale ; 74, complexe phallique, vue ventrale.

Fig. 75-78. — *Samariella viduata* n. gen., n. sp., ♀.
75, capsule céphalique, vue dorsale ; 76, plaque sous-génitale, vue ventrale ; 77, cerque, vue latérale ; 78, valves de l'oviscapte, vue latérale.

Espèce-type du genre : *Samariella bakeri* n. sp.

Le genre comporte 2 espèces connues l'une par 1 ♂, l'autre par 1 ♀ en provenance de Samar. La différence de taille nous incite à considérer ces 2 exemplaires comme 2 espèces distinctes qu'une mise en synonymie permettrait de réunir le cas échéant.

Samariella bakeri n. sp.
(Fig. 6, 67-74)

♂. Holotype. Extrémité des élytres atteignant la base des lobes géniculaires postérieurs. Carènes inférieures des fémurs postérieurs légèrement rugueuses. Partie médiane du dernier tergite à bord postérieur incurvé et angles latéro-postérieurs peu saillants ; parties latérales un peu plus courtes que larges, à angle postéro-externe atténué. Lobes latéraux de la plaque sous-génitale coudés dorsalement selon un angle d'un peu plus de 90°, l'extrémité aiguë.

Fémurs postérieurs monochromes ; genou et base du tibia marqués de brun. Tibias postérieurs jaunes à extrémité brunie. Pas trace de coloration rouge à la base des élytres.

Complexe phallique comme représenté aux figures 70-74.

♀ inconnue.

	Élytre	Fémur postérieur	Pronotum
1 ♂	10,1	9,6	2,4

Philippines : Samar, 1 ♂ holotype (*Baker*). Académie de Philadelphie.

Samariella viduata n. sp.
(Fig. 75-78)

♀. Holotype. Taille grande. Extrémité des élytres atteignant tout juste l'extrémité des fémurs postérieurs. Partie postérieure de la plaque sous-génitale divisée en 3 lobes subtriangulaires courts ; lobes latéraux plus larges et moins longs que le lobe médian. Angle postéro-interne des supports basaux des valves inférieures de l'oviscapte aigu et faisant saillie ventralement ; bord externe de ces mêmes supports redressé dorsalement. Valves supérieures de l'oviscapte à 4-5 dents sur le bord externe.

Fémurs postérieurs marqués de brun sur fond plus clair ; 4 bandes transversales brunes assez bien marquées à la face supérieure. Pas trace de coloration rouge à la base des élytres.

♂ inconnu.

	Élytre	Fémur postérieur	Pronotum
1 ♀	19,6	16,0	4,1

Philippines : Samar, 1 ♀ holotype (*Baker*). Académie de Philadelphie.

Genre **XENOMNESICLES** nov.

♂. Taille petite. Capsule céphalique, considérée frontalement, nettement rétrécie vers le bas ; face lisse ; écusson interantennaire allongé, à bords latéraux peu excurvés. Fastigium du vertex relativement long, bien saillant en forme de bec (vision latérale) ; face dorsale à bords subparallèles, l'extrémité incisée.

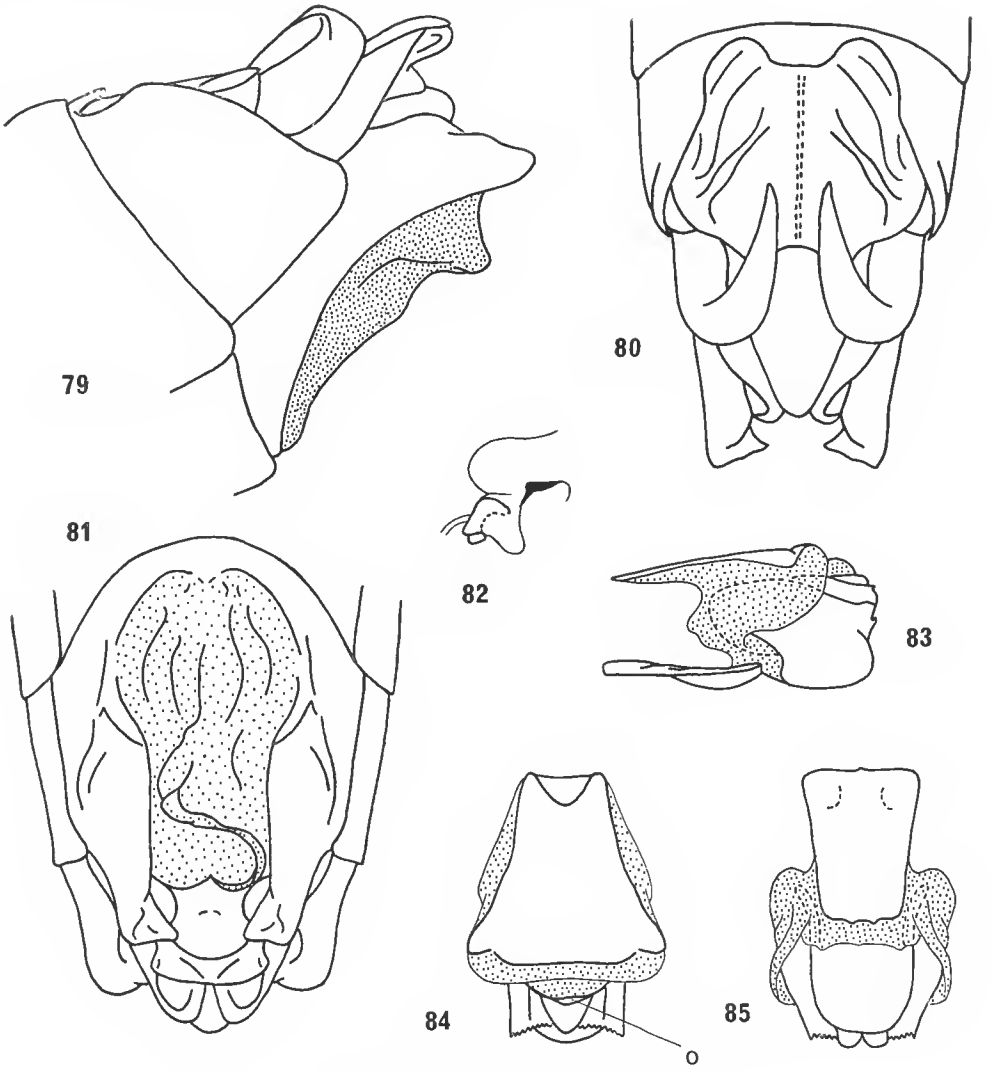

Fig. 79-85. — *Xenomnesicles membranaceus* n. gen., n. sp., ♂.
79, extrémité abdominale, vue latérale ; 80, *id.*, vue dorsale ; 81, *id.*, vue ventrale ; 82, endophalle, vue latérale ; 83, complexe phallique, vue latérale ; 84, *id.*, vue dorsale, O, ouverture génitale ; 85, *id.*, vue ventrale (extrémité du complexe abîmée à la dissection).

Élytres coriacés à la base, puis transparents, à réticulation peu dense. Dernier tergite à partie médiane transverse mais étroite, chevauchant la base de la plaque sus-anale ; parties latérales simples, subquadrangulaires. Cerques à partie basale relativement peu épaisse ; partie apicale plus longue, comprimée latéralement. Plaque sous-génitale à grande aire membraneuse partant du bord antérieur et atteignant l'extrémité ; parties latérales sclérifiées se terminant par un lobe subconique.

Complexe phallique de très petite taille ; pas de véritable épiphalle mais une plaque dorsale sclérifiée. Partie apicale de l'eotophalle fortement sclérifiée et très bombée ; une autre pièce sclérifiée, bien séparée de la précédente, en forme de plaque ventro-antérieure. Ouverture génitale en position dorsale, s'ouvrant en avant d'une plage sclérifiée triangulaire. Pénis en U, perpendiculaire à l'axe longitudinal du complexe (cf. fig. 82-85).

♀ inconnue.

Espèce-type du genre : *Xenomnesicles membranaceus* n. sp.

Xenomnesicles membranaceus n. sp.
(Fig. 9, 79-85)

♂. Holotype. Élytres courts, l'extrémité atteignant à peine la base de la plaque sus-anale. Partie médiane du dernier tergite entière, sans angles saillants. Parties latérales plus larges que longues, le bord externe plus long que le bord interne, l'angle postéro-externe d'un peu moins de 90°. Lobes latéraux de la plaque sous-génitale un peu comprimés dorso-ventralement vers l'extrémité, l'angle postéro-interne spiniforme, invisible latéralement.

Complexe phallique comme représenté aux figures 82-85.

Une ligne noire sous-oculaire longeant les carinules latérales de la face et se prolongeant sur les pièces buccales ; une tache noire à la base des élytres.

	Élytre	Fémur postérieur	Pronotum
1 ♂	6,5	?	2,5

Philippines : Samar, 1 ♂ holotype (*Baker*). Académie de Philadelphie.

Genre **MNESICLESINA** Descamps, 1974

Descamps, 1974 : 1042.

Le genre *Mnesiclesina* n'est connu avec certitude que de Nouvelle-Guinée d'où sont signalées 3 espèces dont on trouvera la clé d'identification ci-dessous.

Nous y rapportons avec réserve 4 espèces des Philippines connues uniquement par la ♀ dont la partie postérieure de la plaque sous-génitale est du même type que chez *M. saussurei* et *M. furcata*. Leur appartenance générique véritable ne pourra être établie que lorsque seront connus les ♂ correspondants. Il est vraisemblable que ces espèces devront alors être réparties entre plusieurs genres.

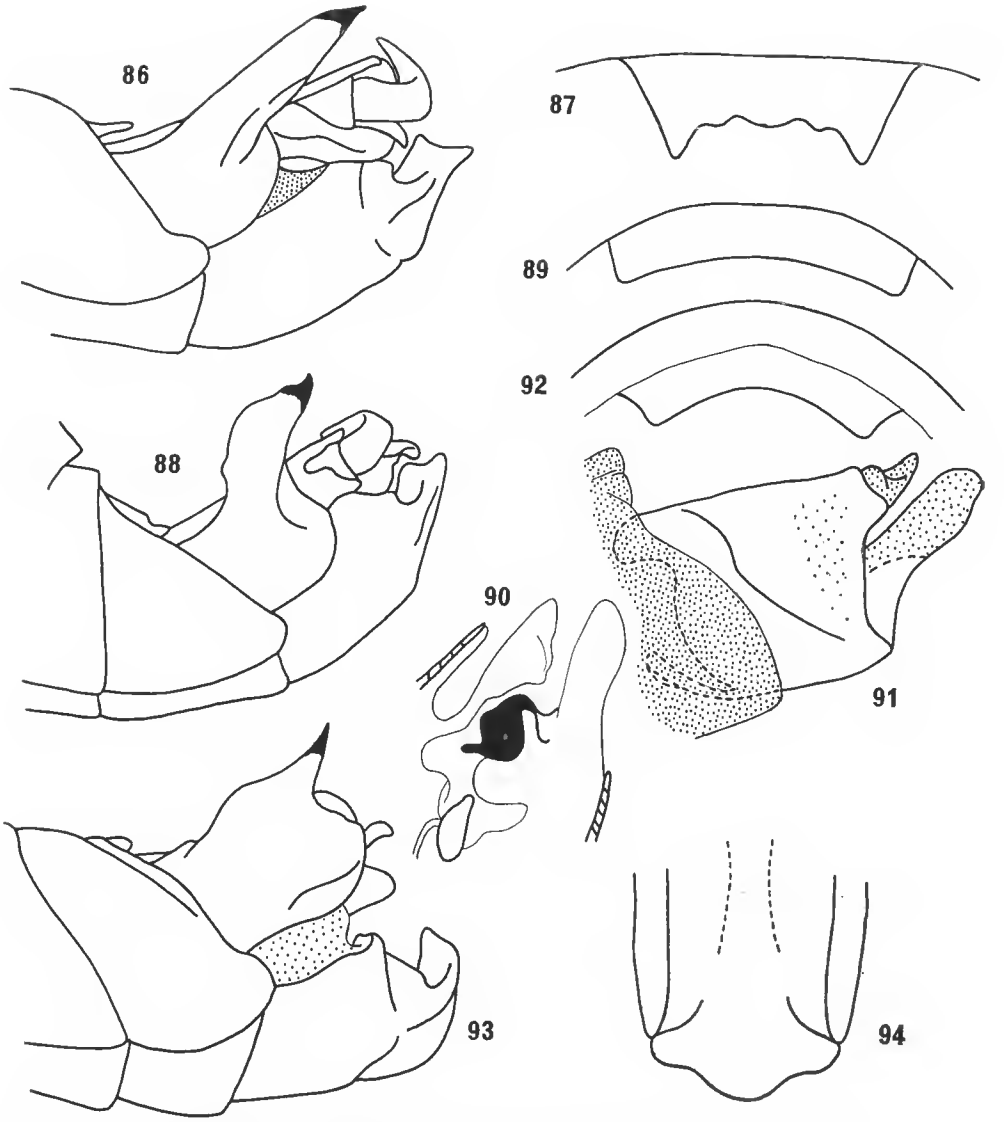

Fig. 86-87. — *Mnesiclesina stylata* (C. Bolívar, 1931), ♂ holotype.
86, extrémité abdominale, vue latérale ; 87, partie médiane du dernier tergite abdominal.
Fig. 88-91. — *Mnesiclesina furcata* (Saussure, 1903), ♂ holotype.
88, extrémité abdominale, vue latérale ; 89, partie médiane du dernier tergite abdominal ; 90, endophalle, vue latérale ; 91, complexe phallique, vue latérale.
Fig. 92-94. — *Mnesiclesina saussurei* (C. Bolívar, 1914), ♂ holotype, ♀.
92, partie médiane du dernier tergite abdominal ♂ ; 93, extrémité abdominale ♂, vue latérale ; 94, plaque sous-génitale ♀, vue ventrale (d'après C. Bolívar, 1914).

Le genre se caractérise comme suit :

Plaque sus-anale à partie antérieure très longue, élargie vers l'arrière.

Parties latérales du dernier tergite à fort appendice à extrémité aiguë (fig. 86, 88).

Partie médiane du dernier tergite recouvrant la base de la plaque sus-anale (fig. 87, 89).

Pas d'épiphalle différencié et ectophalle peu spécialisé (fig. 91).

Endophalle relativement complexe à sac spermatophore tubulaire pourvu d'une sclérification ventrale (fig. 90).

Plaque sous-génitale ♀ typiquement simple (fig. 94).

Espèce-type du genre : *Xanthomastax furcatus* Saussure, 1903.

Clé des espèces (♂)

1 (4) Appendice de la partie latérale du dernier tergite long, plus long ou de longueur subégale à celle du tergite proprement dit 2

2 (3) Appendice du dernier tergite subhorizontal, à bord supérieur subrectiligne ; partie dorso-médiane du dernier tergite à angles latéro-postérieurs saillant en angle aigu (fig. 86, 87). Nouvelle-Guinée ..... *M. stylata* (C. Bolívar, 1931)

3 (2) Appendice du dernier tergite ascendant, à bord supérieur excurvé ; partie dorso-médiane du dernier tergite à angles latéro-postérieurs peu saillants (fig. 88, 89). Nouvelle-Guinée.. *M. furcata* (Saussure, 1903)

4 (1) Appendice de la partie latérale du dernier tergite court, plus court que la longueur du tergite proprement dit, le bord supérieur légèrement incurvé, le bord interne armé d'une petite épine (fig. 93). Nouvelle-Guinée ..... *M. saussurei* (C. Bolívar, 1914)

Clé des espèces (♀)

1 (12) Plaque sous-génitale typique à bord postérieur arqué ou sinué, jamais plurilobé 2

2 (5) Plaque sous-génitale à côte médiane ou carènes latérales 3

3 (4) Plaque sous-génitale à côte médiane longitudinale sur les 3/4 basaux (fig. 94). Nouvelle-Guinée. ..... *M. saussurei* (C. Bolívar, 1914)

4 (3) Plaque sous-génitale sans côte médiane mais à 2 carènes latérales aiguës. Nouvelle-Guinée. *M. furcata* (Saussure, 1903)

5 (2) Plaque sous-génitale sans côte médiane ni carènes latérales 6

6 (11) Bord postérieur de la plaque sous-génitale arqué, jamais sinué 7

7 (8) Plaque sous-génitale non rétrécie vers l'arrière, le bord postérieur très largement arqué (fig. 99). Philippines ..... *M.* (?) *excurva* n. sp.

8 (7) Plaque sous-génitale rétrécie vers l'arrière, la partie postérieure subtriangulaire 9

9 (10) Bord latéral des supports basaux des valves inférieures de l'oviscapte comprimé dorso-ventralement ; cerques longs à extrémité aiguë (fig. 95, 96). Philippines ..... *M.* (?) *acuticerca* n. sp.

10 (9) Bord latéral des supports basaux des valves inférieures de l'oviscapte redressé, à indentation apicale ; cerques courts à extrémité arrondie (fig. 98). Philippines ..... *M.* (?) *curticerca* n. sp.

11 (6) Bord postérieur de la plaque sous-génitale sinué (fig. 101). Philippines ..... *M.* (?) *undulata* n. sp.

12 (1) Plaque sous-génitale atypique, trilobée, à lobe médian large et lobes latéraux beaucoup plus longs que le médian. Nouvelle-Guinée ..... *M. stylata* (C. Bolívar, 1931)

Mnesiclesina (?) **acuticerca** n. sp.
(Fig. 95-96)

♀. Holotype. Écusson interantennaire très étroit, à bords latéraux parallèles. Extrémité des élytres atteignant la plaque sus-anale. Cinq épines apicales à la face externe du 1er article des tarses postérieurs. Plaque sous-génitale rétrécie vers l'arrière, à bord postérieur légèrement incurvé de part et d'autre d'une saillie médiane à bord excurvé. Cerques environ 3 fois plus longs que larges, l'extrémité très aiguë et un peu sinuée. Valves de l'oviscapte de longueur moyenne pour le groupe ; valves supérieures à bord externe subrectiligne de profil, le bord interne non visible latéralement ; bord interne des valves inférieures à une seule indentation visible latéralement. Supports basaux des valves inférieures de l'oviscapte à bord externe formant un lobe comprimé dorso-ventralement.

Dessus de la tête à 2 traînées brunâtres. Disque du pronotum à large bande noire sur le bord antérieur. Base des élytres marquée de rouge et de noir. Fémurs postérieurs monochromes à anneau prégéniculaire incomplet de coloration brune. Tibias postérieurs rougeâtres, le tiers apical de la face interne brun.

	Élytre	Fémur postérieur	Pronotum
1 ♀	12,1	12,3	3,0

Philippines : Mindanao, Butuan, 1 ♀ holotype (*Baker*). Académie de Philadelphie.

Mnesiclesina (?) **curticerca** n. sp.
(Fig. 97-98)

♀. Holotype. Écusson interantennaire relativement large, à bords latéraux un peu excurvés. Fastigium du vertex large, de largeur subégale à la longueur des 2 premiers articles antennaires réunis, le bord antérieur rectiligne. Extrémité des élytres n'atteignant pas l'anneau prégéniculaire. Trois épines apicales sur la face externe du 1er article des tarses postérieurs, parfois une épine préapicale. Cerques courts, pas plus de 2 fois plus longs que larges, l'extrémité arrondie. Plaque sous-génitale rétrécie à l'arrière, le bord postérieur régulièrement excurvé de part et d'autre du milieu. Valves de l'oviscapte relativement courtes ; valves supérieures à bord externe légèrement excurvé et bord interne bien visible latéralement. Valves inférieures à bord interne non denté, pratiquement invisible latéralement. Supports basaux des valves inférieures à bord externe redressé et formant un épaulement préapical.

Bord antérieur du disque du pronotum à tache noire subrectangulaire. Fémurs postérieurs à anneau prégéniculaire complet, de coloration brune. Tibias postérieurs à taches basales brunes, l'extrémité rougeâtre.

	Élytre	Fémur postérieur	Pronotum
1 ♀	11,9	14,0	3,4

Philippines : Masbate, Aroroy, 1 ♀ holotype, IX-1912 (*W. Boettcher*) ; 1 ♀ paratype, 30-VIII-1918 (*W. Boettcher*). Académie de Philadelphie et Muséum national, Paris.

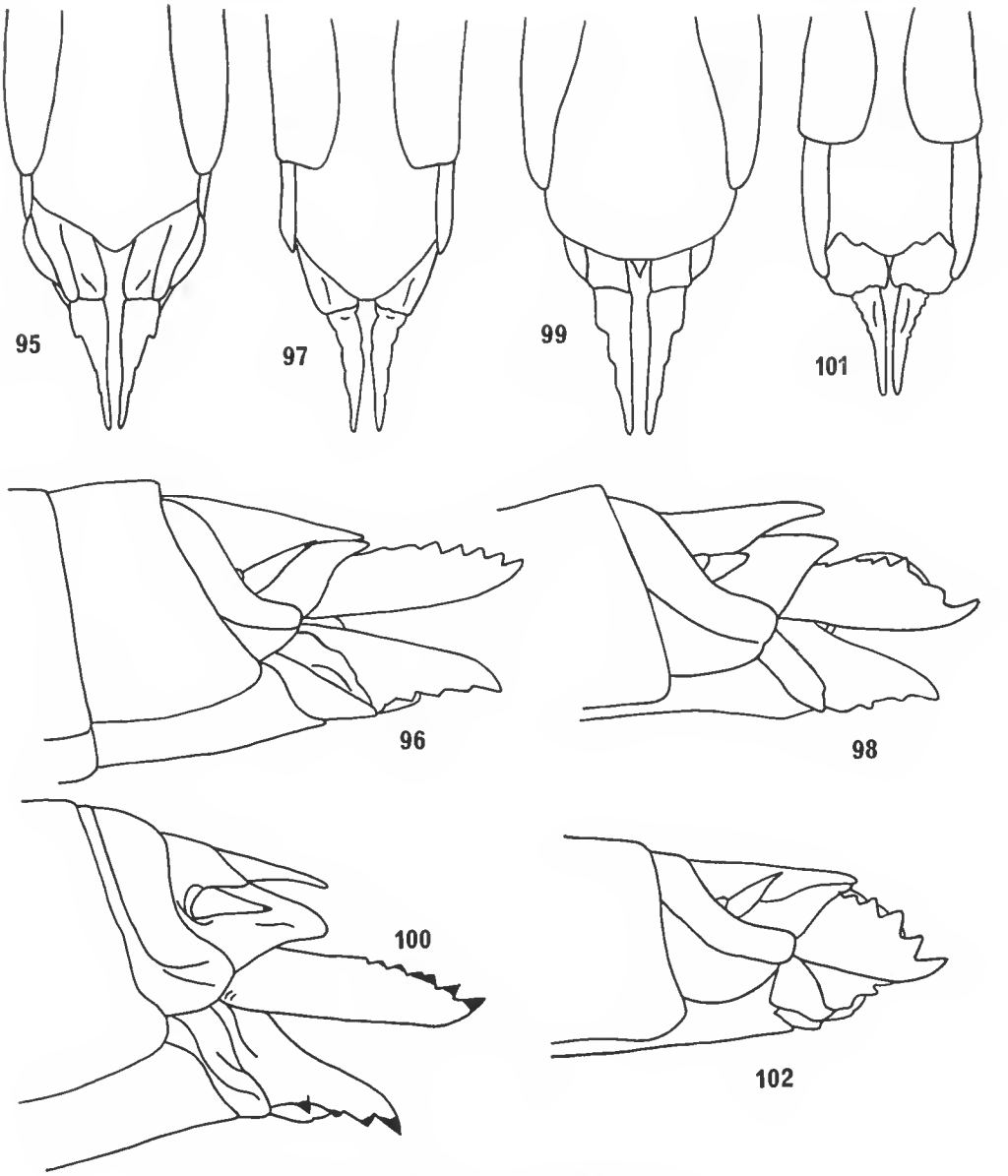

Fig. 95-96. — *Mnesiclesina* (?) *acuticerca* n. sp., ♀.
95, extrémité abdominale, vue ventrale ; 96, *id.*, vue latérale.
Fig. 97-98. — *Mnesiclesina* (?) *curticerca* n. sp., ♀.
97, extrémité abdominale, vue ventrale ; 98, *id.*, vue latérale.
Fig. 99-100. — *Mnesiclesina* (?) *excurva* n. sp., ♀.
99, extrémité abdominale, vue ventrale ; 100, *id.*, vue latérale.
Fig. 101-102. — *Mnesiclesina* (?) *undulata* n. sp., ♀.
101, extrémité abdominale, vue ventrale ; 102, *id.*, vue latérale.

Mnesiclesina (?) **excurva** n. sp.
(Fig. 99-100)

♀. Holotype. Écusson interantennaire étroit, à bords latéraux peu excurvés. Extrémité des élytres n'atteignant pas tout à fait les lobes géniculaires postérieurs. Quatre épines apicales à la face externe du 1er article des tarses postérieurs. Plaque sous-génitale non rétrécie vers l'arrière, le bord postérieur très largement excurvé ; un petit lobe triangulaire un peu en contrebas (guide-œuf). Cerques plus de 2 fois plus longs que larges, l'extrémité aiguë. Valves de l'oviscapte de longueur moyenne pour le groupe ; valves supérieures à bord externe subrectiligne de profil, le bord interne non ou à peine visible latéralement ; bord interne des valves inférieures non denté, visible latéralement à la base. Supports basaux des valves inférieures de l'oviscapte à bord externe non redressé.

Dessus de la tête brun à bande médiane pâle. Disque du pronotum à bande médiane brune et ligne noire sur le bord antérieur. Base des élytres à bande rouge, sur les 3 premières nervures, surmontée d'une bande noire. Fémurs postérieurs monochromes ; un anneau prégéniculaire incomplet de coloration brune. Tibias postérieurs rougeâtres.

	Élytre	Fémur postérieur	Pronotum
2 ♀	12,4-12,7	12,7-13,2	3,0-3,1

Philippines : Leyte, Dagami, Mt Lobi, 1 ♀ holotype, 8-VII-1945 (*E. R. Helwig*) ; 1 ♀ paratype, 21-VI-1945 (*E. R. Helwig*). — Samar, 1 ♀ paratype (*Baker*). Académie de Philadelphie et Muséum national, Paris.

Mnesiclesina (?) **undulata** n. sp.
(Fig. 101-102)

♀. Holotype. Écusson interantennaire relativement large, à bords latéraux bien excurvés. Fastigium du vertex de largeur subégale à la longueur des 2 premiers articles antennaires réunis, le bord antérieur rectiligne, la base déprimée. Extrémité des élytres atteignant la partie brunie à l'extrémité des fémurs postérieurs. Trois épines apicales à la face externe du 1er article des tarses postérieurs ; parfois une épine préapicale. Cerques plus de 2 fois plus longs que larges, l'extrémité aiguë et un peu sinuée. Plaque sous-génitale non rétrécie vers l'arrière, le bord postérieur sinué comme représenté à la figure 101. Valves de l'oviscapte relativement courtes ; valves supérieures à bord externe légèrement excurvé et bord interne visible de profil ; valves inférieures à bord interne non denté, visible latéralement à la base. Bord externe des valves inférieures de l'oviscapte redressé.

Une tache brune rectangulaire sur le bord antérieur du disque du pronotum. Fémurs postérieurs à extrémité brune ; tibias postérieurs bruns à traces violacées.

	Élytre	Fémur postérieur	Pronotum
1 ♀	12,1	13,1	3,5

Philippines : Samar, 1 ♀ holotype (*Baker*). Académie de Philadelphie.

Genre **MNESICLES** Stål, 1877

Stål, 1877 : 54. — Descamps, 1974 : 1042.

Le genre *Mnesicles*, endémique des Philippines, ne comportait à ce jour que 2 espèces connues toutes deux par un seul ♂. Nous décrivons ci-dessous la ♀ de *M. modestus* (Stål, 1877) et quatre autres espèces dont une d'appartenance générique incertaine.

Le genre se caractérise comme suit :

Partie médiane du dernier tergite faisant saillie au-dessus de la plaque sus-anale (fig. 105, 108).

Parties latérales du dernier tergite simples, quadrangulaires (fig. 103, 108).

Lobes latéraux de la plaque sous-génitale subrectangulaires de profil, à angle supérieur typiquement saillant vers l'intérieur (fig. 105, 108).

Pas d'épiphalle différencié.

Ectophalle à partie postérieure tubulaire et extrémité membraneuse (fig. 111, 129).

Plaque sous-génitale ♀ à extrémité trilobée et lobe médian plus large que les latéraux (fig. 107, 120).

Espèce-type du genre : *Mnesicles modestus* Stål, 1877.

Clé des espèces (♂)

1 (2) Partie médiane du dernier tergite faisant saillie au-dessus de la plaque sus-anale très nettement plus longue que large, fortement tectiforme à la partie postérieure (fig. 105)..... *M. modestus* Stål, 1877

2 (1) Partie médiane du dernier tergite faisant saillie au-dessus de la plaque sus-anale subcarrée ou transverse, jamais tectiforme (fig. 104, 109)..... 3

3 (6) Partie médiane du dernier tergite à bord postérieur tridenté ou trilobé (fig. 104, 127).... 4

4 (5) Angle postéro-externe du dernier tergite très aigu et incurvé ; lobes terminaux de la plaque sous-génitale très étroits de profil (fig. 103). (♀ inconnue). *M. mazarredoi* C. Bolívar, 1930

5 (4) Angle postéro-externe du dernier tergite très largement arrondi, non incurvé ; lobes terminaux de la plaque sous-génitale à extrémité subrectangulaire de profil (fig. 125). (♀ inconnue). *M. trifidus* n. sp.

6 (3) Partie médiane du dernier tergite à bord postérieur bidenté ou bilobé (fig. 109)..... 7

7 (8) Partie médiane du dernier tergite courte, peu profondément divisée en 2 lobes à extrémité large ; lobes terminaux de la plaque sous-génitale à forte apophyse aiguë sur la face interne (fig. 118). ..... *M. saobensis* n. sp.

8 (7) Partie médiane du dernier tergite plus longue, plus profondément divisée en 2 lobes à extrémité étroite ; lobes terminaux de la plaque sous-génitale sans apophyse sur la face interne (fig. 109, 110). (♀ inconnue)..... *M. luzonicus* n. sp.

Clé des espèces (♀)

1 (4) Lobes latéraux de la plaque sous-génitale pas plus longs que le lobe médian, ce dernier à bord postérieur excurvé..... 2

2 (3) Plaque sous-génitale rétrécie vers l'arrière, à lobe médian en forme de segment circulaire ;

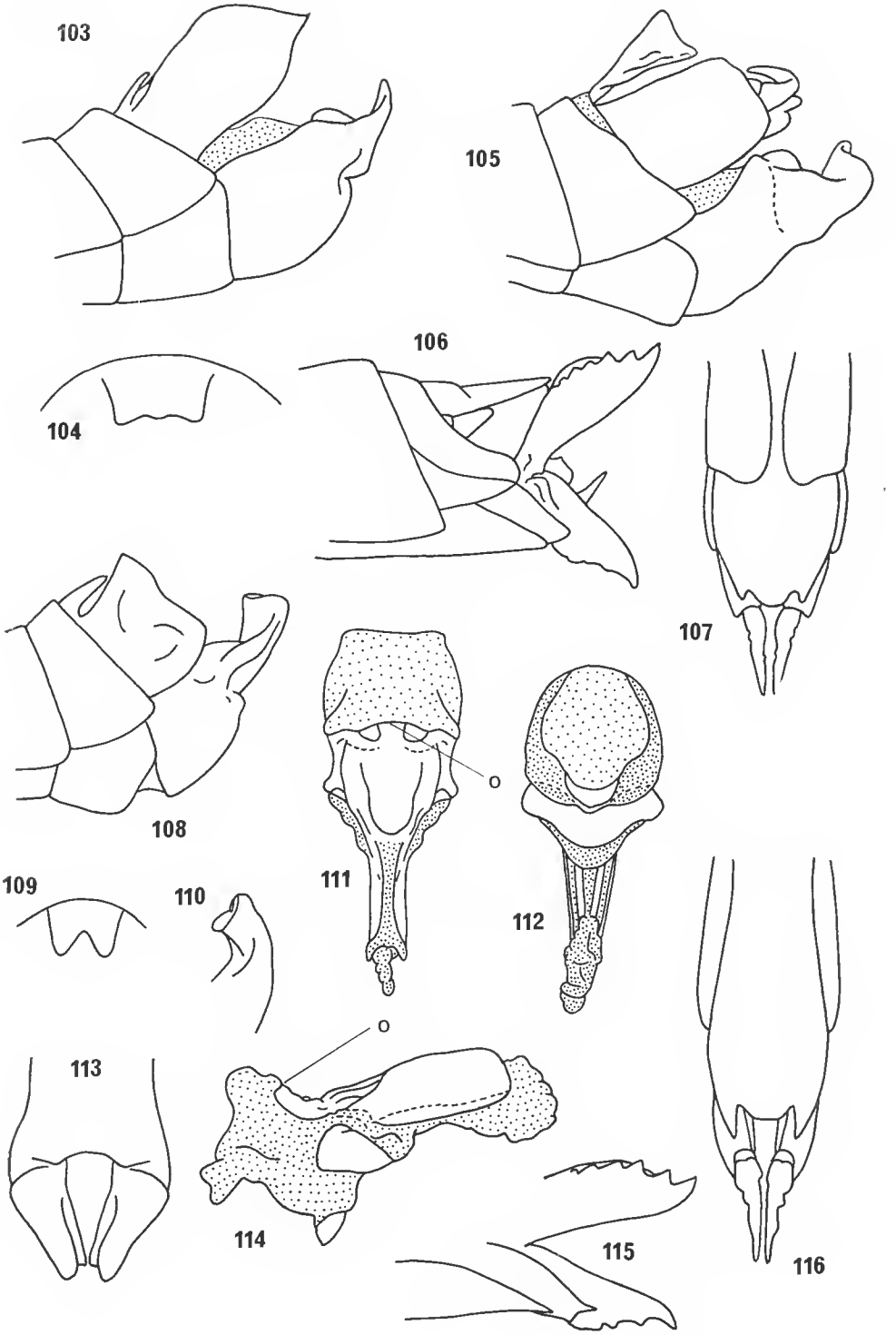
103
105
106
104
107
108
o
111
112
109
110
113
o
114
115
116

supports basaux des valves inférieures de l'oviscapte à bord supérieur (en vue latérale) rectiligne (fig. 106, 107) ..... *M. modestus* Stål, 1877

3 (2) Plaque sous-génitale non rétrécie vers l'arrière, à lobe médian subtriangulaire ; supports basaux des valves inférieures de l'oviscapte à bord supérieur (en vue latérale) excurvé (fig. 120, 121). ..... *M. saobensis* n. sp.

4 (1) Lobes latéraux de la plaque sous-génitale plus longs que le lobe médian, ce dernier tronqué (fig. 116). (♂ inconnu) ..... *M.* (?) *truncatus* n. sp.

Mnesicles mazarredoi C. Bolívar, 1930
(Fig. 13, 103-104)

C. Bolívar, 1930 : 191, fig. 102. — Descamps, 1974 : 1044.

Localité-type : Philippines, Luzon, holotype ♂, Muséum de Madrid.
L'espèce n'est connue que par le type.

Mnesicles modestus Stål, 1877
(Fig. 14, 105-107)

Stål, 1877 : 54. — C. Bolívar, 1930 : 187, fig. 100, 101. — Descamps, 1974 : 1042, 1044, fig. 38-42.

Localité-type : Philippines, holotype ♂, Muséum de Stockholm.

♀. Néallotype. Fastigium du vertex de largeur subégale à la longueur du scape antennaire, l'extrémité non incisée. Extrémité des élytres n'atteignant pas la partie brune de l'extrémité des fémurs postérieurs. Trois épines apicales à la face externe du 1er article des tarses postérieurs. Cerques courts, subconiques, moins de 2 fois plus longs que larges, l'extrémité arrondie. Plaque sous-génitale bien rétrécie à l'arrière, la partie postérieure tribolée ; lobe médian en forme de segment circulaire ; lobes latéraux beaucoup plus étroits, subtriangulaires à extrémité arrondie, pas plus longs que le lobe médian. Valves de l'oviscapte relativement courtes ; valves supérieures à bord externe un peu arqué et bord interne visible de profil ; valves inférieures à bord interne invisible latéralement. Bord externe des supports basaux des valves inférieures de l'oviscapte redressé, à angle postérieur droit.

Dessus de la tête brun à bande médiane claire. Disque du pronotum bruni à petite

Fig. 103-104. — *Mnesicles mazarredoi* C. Bolívar, 1930, ♂ holotype.
103, extrémité abdominale, vue latérale ; 104, partie médiane du dernier tergite abdominal.
Fig. 105-107. — *Mnesicles modestus* Stål, 1877, ♂, ♀ néallotype.
105, extrémité abdominale ♂, vue latérale ; 106, extrémité abdominale ♀, vue latérale ; 107, *id.*, vue ventrale.
Fig. 108-114. — *Mnesicles luzonicus* n. sp., ♂.
108, extrémité abdominale, vue latérale ; 109, partie médiane du dernier tergite abdominal ; 110, lobe latéral de la plaque sous-génitale, vue dorsale ; 111, complexe phallique, vue dorsale, O, ouverture génitale ; 112, *id.*, vue ventrale ; 113, plaque sous-génitale, vue ventrale ; 114, complexe phallique, vue latérale.
Fig. 115-116. — *Mnesicles* (?) *truncatus* n. sp., ♀.
115, valves de l'oviscapte, vue latérale ; 116, extrémité abdominale, vue ventrale.

tache noire sur le bord antérieur. Extrémité des fémurs postérieurs brune. Tibias postérieurs à base brune marquée d'un anneau clair, l'extrémité brun plus foncé, le reste rougeâtre.

	Élytre	Fémur postérieur	Pronotum
1 ♂	7,5	8,4	2,0
1 ♀	9,4	11,7	2,7

Philippines : Basilan, 1 ♂, 1 ♀ néallotype (*Baker*). Académie de Philadelphie.

Mnesicles luzonicus n. sp.
(Fig. 108-114)

♂. Holotype. Extrémité des élytres dépassant un peu le milieu des fémurs postérieurs. Partie médiane du dernier tergite subcarrée, divisée en 2 lobes bien saillants par une découpure triangulaire ; parties latérales transverses, à angle postéro-interne bien saillant, d'un peu moins de 90°, à angle postéro-externe d'un peu plus de 90°, arrondi, à bord postérieur incurvé et bord externe excurvé. Lobes latéraux de la plaque sous-génitale à partie postérieure subrectangulaire de profil, un peu redressés et incurvés ; angle supéro-postérieur peu saillant vers l'intérieur.

Dessus de la tête, disque du pronotum, extrémité des fémurs postérieurs et articulation fémoro-tibiale postérieure brunis. Tibias postérieurs rouges.

Complexe phallique comme représenté aux figures 111-114 ; partie tubulaire de l'ectophalle horizontale.

♀ inconnue.

	Élytre	Fémur postérieur	Pronotum
1 ♂	7,7	9,0	2,2

Philippines : S. W. Luzon, 1 ♂ holotype. Académie de Philadelphie.

Mnesicles saobensis n. sp.
(Fig. 13, 117-124)

♂. Holotype. Extrémité des élytres atteignant le tiers apical des fémurs postérieurs. Partie médiane du dernier tergite courte, transverse, bilobée ; parties latérales courtes, transverses, à angle postéro-interne droit et angle postéro-externe largement arrondi. Cerques très courts, à partie apicale pas plus longue que la partie basale, fortement comprimée latéralement, l'extrémité aiguë. Lobes latéraux de la plaque sous-génitale à extrémité rectangulaire, un peu inclinés ventralement, la face interne pourvue d'un long appendice spiniforme situé vers le milieu, à peine visible latéralement.

Dessus de la tête et disque du pronotum brunis. Fémurs postérieurs à croissant géniculaire brun clair. Tibias postérieurs rouges.

Complexe phallique comme représenté aux figures 122-124 ; partie apicale de l'ectophalle tubulaire, relativement courte, horizontale.

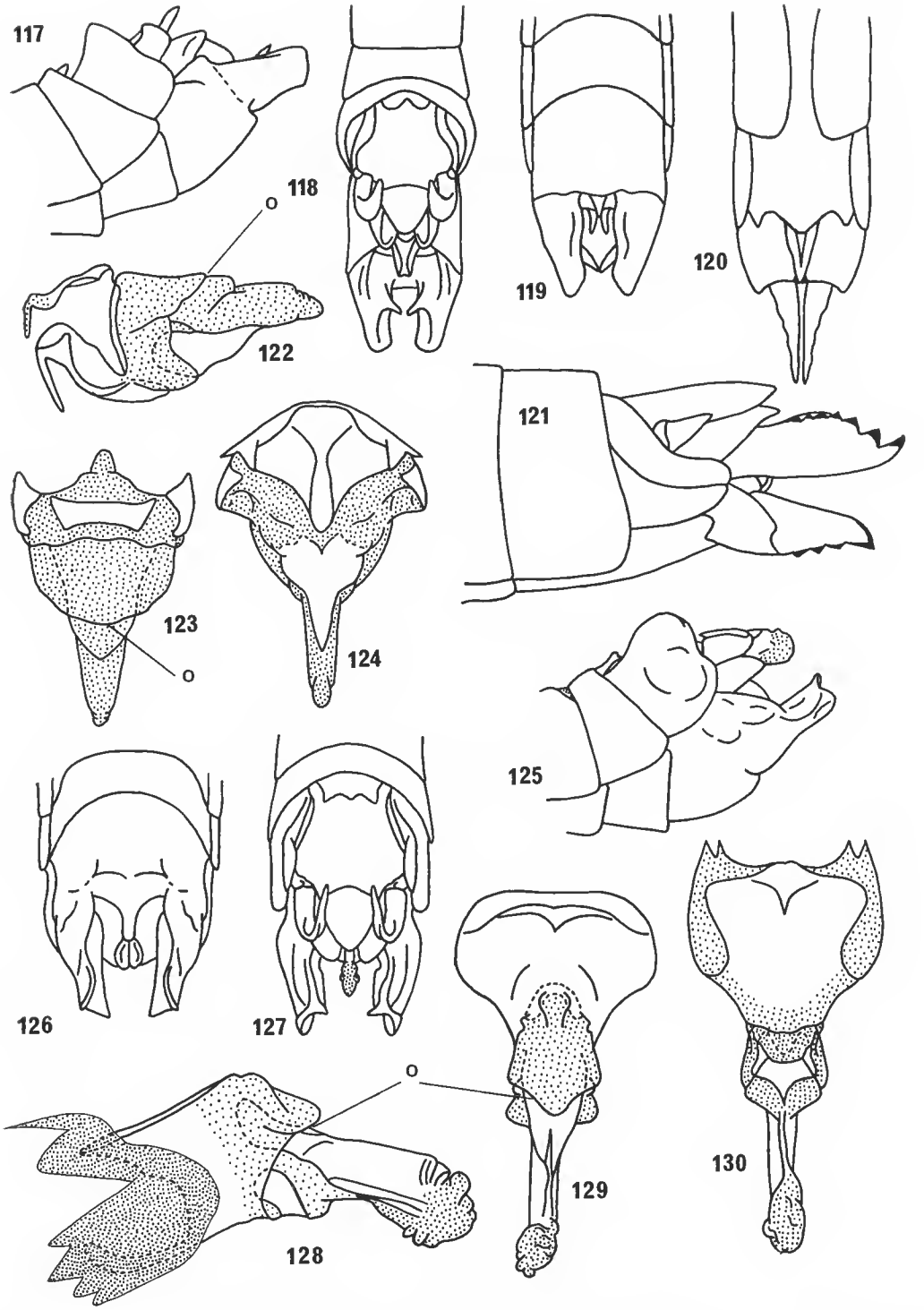

Fig. 117-124. — *Mnesicles saobensis* n. sp., ♂, ♀.

117, extrémité abdominale ♂, vue latérale; 118, *id.*, vue dorsale; 119, *id.*, vue ventrale; 120, extrémité abdominale ♀, vue ventrale; 121, *id.*, vue latérale; 122, complexe phallique, vue latérale; 123, *id.*, vue dorsale; 124, *id.*, vue ventrale.

Fig. 125-130. — *Mnesicles trifidus* n. sp., ♂.

125, extrémité abdominale, vue latérale; 126, *id.*, vue ventrale; 127, *id.*, vue dorsale; 128, complexe phallique, vue latérale; 129, *id.*, vue dorsale; 130, *id.*, vue ventrale.

♀. Allotype. Fastigium du vertex déprimé à la base, l'extrémité non incisée, un peu redressée. Cerques courts, subconiques. Plaque sous-génitale non rétrécie à l'arrière, l'extrémité trilobée ; lobe médian large, subtriangulaire ; lobes latéraux triangulaires à extrémité arrondie, un peu plus courts que le lobe médian. Valves de l'oviscapte assez courtes ; valves supérieures à bord externe un peu excurvé et bord interne visible de profil ; valves inférieures à bord interne non denté, invisible latéralement. Bord externe des supports basaux des valves inférieures de l'oviscapte fortement redressé, arqué en vision latérale, l'angle postérieur droit.

Une tache noire sur le bord antérieur du disque du pronotum. Extrémité des fémurs postérieurs brunie. Tibias postérieurs rouges à base brunie et marquée de plages claires.

	Élytre	Fémur postérieur	Pronotum
2 ♂	7,6-8,1	8,9-9,3	2,1-2,2
1 ♀	11,5	12,4	2,8

Philippines : Mindanao, Saob Cotabato, 1 ♂ holotype, 1 ♀ allotype, 1 ♂ paratype, « in tops of fallen trees », IV-1923 (*E. H. Taylor*). Académie de Philadelphie et Muséum national, Paris.

Mnesicles trifidus n. sp.
(Fig. 16, 125-130)

♂. Holotype. Fastigium du vertex relativement long, bien saillant en forme de bec en vision latérale ; face dorsale déprimée longitudinalement, à extrémité excisée. Extrémité des élytres n'atteignant pas les lobes génieulaires postérieurs. Trois épines apicales à la face externe du 1er article des tarses postérieurs. Partie médiane du dernier tergite transverse à bord postérieur tridenté ; parties latérales subcarrées à angles postérieurs très largement arrondis. Cerques à partie apicale un peu plus longue que la partie basale, fortement comprimée latéralement, l'extrémité aiguë. Lobes latéraux de la plaque sous-génitale à extrémité subrectangulaire de profil, l'angle postéro-supérieur faisant saillie en triangle vers le haut et l'intérieur.

Base des élytres marquée de rouge et touchée de brun. Fémurs postérieurs à croissant génieulaire brunâtre. Tibias postérieurs rouges à base plus pâle.

Complexe phallique coudé en angle obtus ouvert ventralement (en vue latérale) (cf. fig. 128).

♀ inconnue.

	Élytre	Fémur postérieur	Pronotum
1 ♂	7,5	8,7	2,1

Philippines : Mindanao, Davao, 1 ♂ holotype (*Baker*). Académie de Philadelphie.

Mnesicles (?) **truncatus** n. sp.
(Fig. 115-116)

♀. Holotype. Extrémité des élytres atteignant presque la base des lobes géniculaires postérieurs. Trois épines apicales à la face externe du 1er article des tarses postérieurs. Cerques un peu plus longs que chez les autres espèces du même genre, la partie postérieure fortement amincie, l'extrémité arrondie. Plaque sous-génitale bien rétrécie vers l'arrière, la partie postérieure trilobée ; lobe médian court, trapézoïdal ; lobes latéraux étroits, très nettement plus longs que le lobe médian. Valves supérieures de l'oviscapte à bord externe un peu arqué et bord interne visible de profil ; valves inférieures à bord interne invisible latéralement. Bord externe des supports basaux des valves inférieures de l'oviscapte redressé, à angle postérieur aigu.

Une petite tache noire sur le bord antérieur du disque du pronotum. Genou postérieur légèrement bruni. Tibias postérieurs bruns à plages claires virant au violacé clair vers l'extrémité.

♂ inconnu.

	Élytre	Fémur postérieur	Pronotum
1 ♀	11,8	12,5	3,1

Philippines : Mindanao, Zamboanga, 1 ♀ holotype (*Baker*). Académie de Philadelphie.

Genre **PHILIPPINACRIDIUM** Descamps, 1974

Descamps, 1974 : 1044.

Le genre *Philippinacridium*, endémique des Philippines, comporte 2 espèces récemment décrites : *P. lobatum* et *P. brachypterum* auxquelles nous réunissons, avec réserve, *Mnesicles palawanensis* C. Bolívar, 1931, dont nous n'avons pu étudier le type. Les 3 espèces ne sont connues que par un seul exemplaire ♂.

Le genre est très proche de *Mnesicles* Stål, 1877, dont il se différencie principalement par la structure du complexe phallique à partie postérieure de l'ectophalle non tubulaire, très large de profil.

Espèce-type du genre : *Philippinacridium lobatum* Descamps, 1974.

Clé des espèces (♂)

1 (2) Lobes latéraux de la plaque sous-génitale à extrémité très étroite de profil, en forme de corne courbée dorsalement (fig. 131) ; élytres plus courts ; rapport longueur de l'élytre/longueur du fémur postérieur (E/F) nettement < 1. . . *P. brachypterum* Descamps, 1974

2 (1) Lobes latéraux de la plaque sous-génitale larges de profil ; élytres plus longs ; rapport E/F voisin de 1. 3

3 (4) Lobes latéraux de la plaque sous-génitale rétrécis vers le haut, l'extrémité largement arron-

die ; parties latérales du dernier tergite considérées latéralement plus longues vers le haut que vers le bas (fig. 136) ..... *P. lobatum* Descamps, 1974

4 (3) Lobes latéraux de la plaque sous-génitale non rétrécis vers le haut, l'extrémité tronquée ; parties latérales du dernier tergite considérées latéralement plus longues vers le bas que vers le haut (C. Bolívar, 1931, fig. 9) ..... *P.* (?) *palawanensis* (C. Bolívar, 1931)

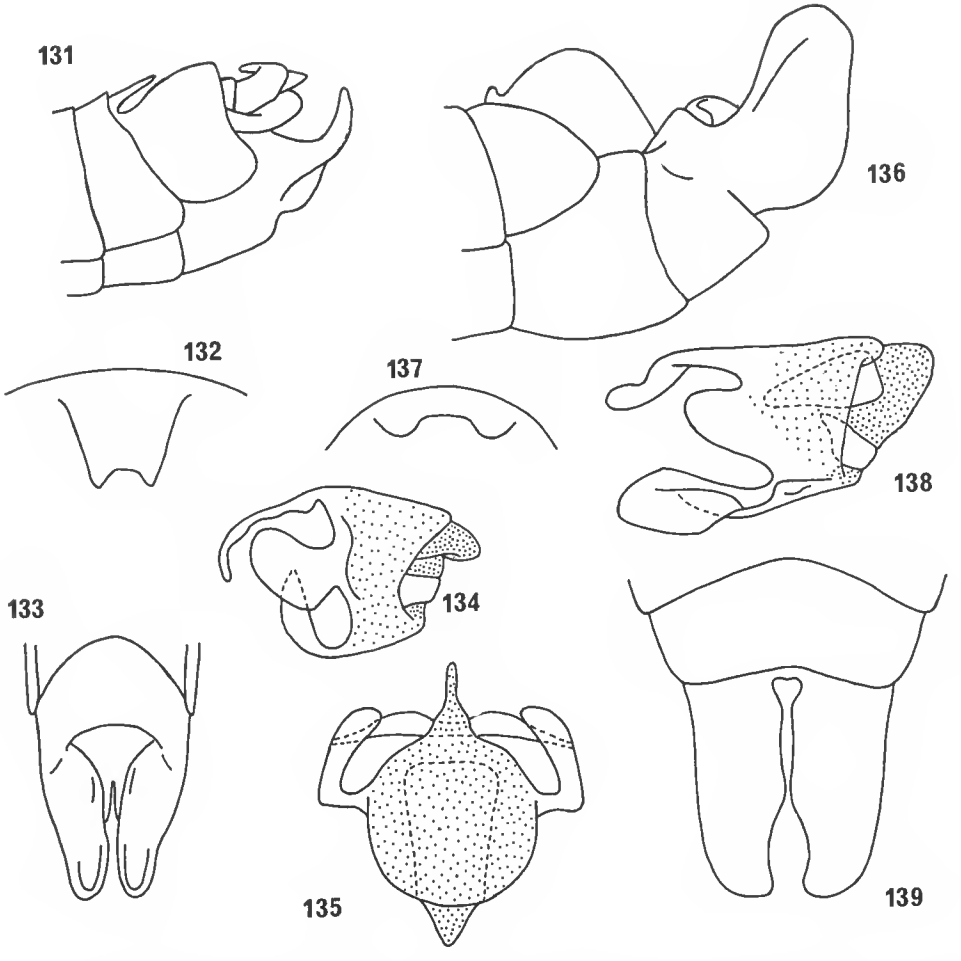

Fig. 131-135. — *Philippinacridium brachypterum* Descamps, 1974, ♂.
131, extrémité abdominale, vue latérale ; 132, partie médiane du dernier tergite abdominal ; 133, plaque sous-génitale, vue ventrale ; 134, complexe phallique, vue latérale ; 135, *id.*, vue dorsale.
Fig. 136-139. — *Philippinacridium lobatum* Descamps, 1974, ♂.
136, extrémité abdominale, vue latérale ; 137, partie médiane du dernier tergite abdominal ; 138, complexe phallique, vue latérale ; 139, plaque sous-génitale, vue ventrale.

Philippinacridium brachypterum Deseamps, 1974
(Fig. 17, 131-135)

Descamps, 1974 : 1045.

Localité-type : Philippines, San Miguel, holotype ♂. Académie de Philadelphie.

	Élytre	Fémur postérieur	Pronotum
1 ♂	7,2	9,3	2,4

L'étiquette de provenance ne donne aucune indication qui permette de savoir si l'Insecte a été capturé dans la région de la baie de San Miguel à Luzon ou dans les îles San Miguel.

Philippinacridium lobatum Deseamps, 1974
(Fig. 18, 136-139)

Descamps, 1974 : 1045.

Localité-type : Philippines, Leyte, Lagolago, holotype ♂. Académie de Philadelphie.

	Élytre	Fémur postérieur	Pronotum
1 ♂	9,5	9,8	2,3

Philippinacridium (?) **palawanensis** (C. Bolívar, 1931)

C. Bolívar, 1931 : 297, fig. 9. — Descamps, 1974 : 1044.

Localité-type : Philippines, N. Palawan, Binaluan, holotype ♂. Institut entomologique de Berlin-Dahlem.

	Élytre	Fémur postérieur	Pronotum
1 ♂	9,6	9,5	2,3

Genre **CHROMOMNESICLES** nov.

♂. Écusson interantennaire très étroit. Fastigium du vertex étroit, déprimé longitudinalement, plus étroit que la longueur du scape antennaire.

Élytres étroits, transparents au-delà du quart basal. Quatre épines apicales à la face externe du 1er article des tarses postérieurs. Dernier tergite divisé jusqu'à la base ; partie médiane représentée par un petit lobe étroit ne faisant pas saillie au-dessus de la plaque sus-anale ; parties latérales transverses, simples. Plaque sus-anale en forme de losange. Cerques courts, la partie apicale un peu plus longue que la partie basale, étroite, à extrémité

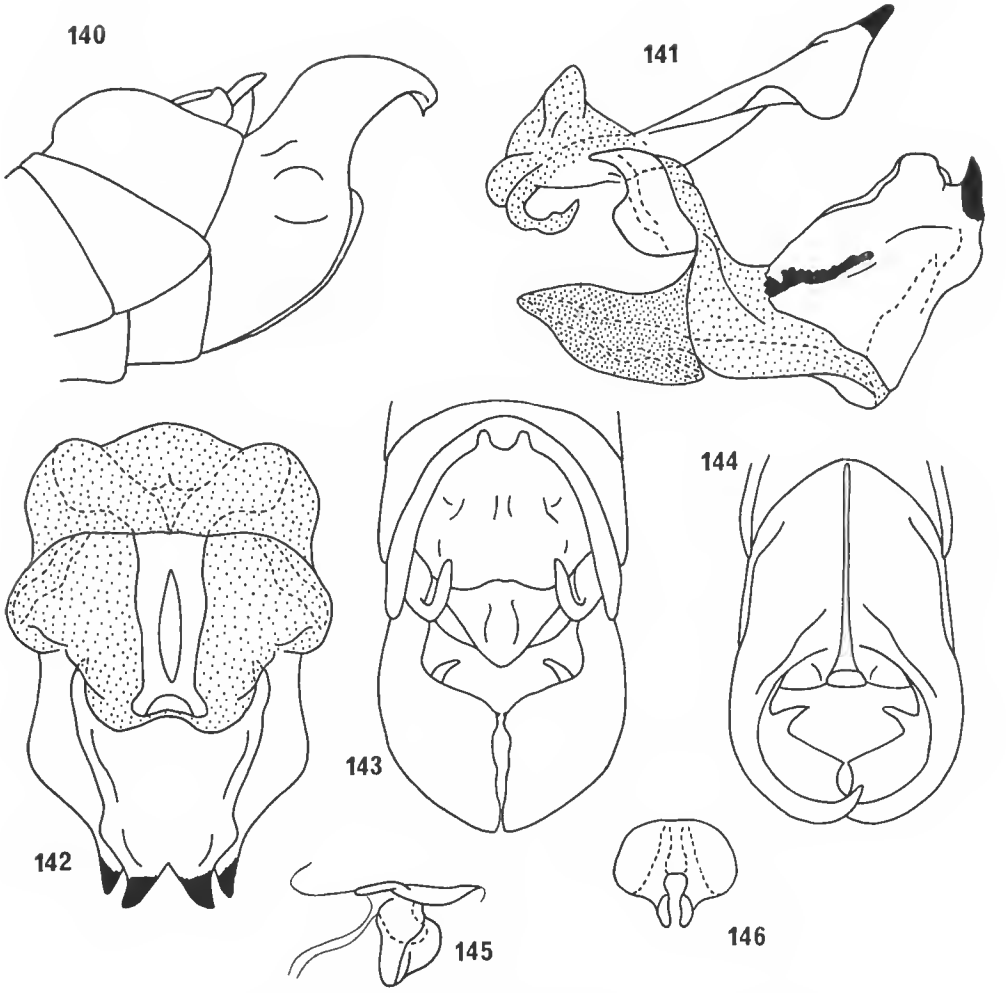

Fig. 140-146. — *Chromomnesicles rubrithorax* n. gen., n. sp., ♂.
140, extrémité abdominale, vue latérale ; 141, complexe phallique, vue latérale ; 142, *id.*, vue ventrale ; 143, extrémité abdominale, vue dorsale ; 144, *id.*, vue ventrale ; 145, endophalle, vue latérale ; 146, pénis, vue dorsale.

arrondie. Plaque sous-génitale fendue jusqu'à la base, à lobes latéraux longs, courbés vers le bas et vers l'intérieur, subcontigus sur la ligne médiane, armés de quelques épines.

Pas de véritable épiphalle. Repli dorsal de l'ectophalle formant une large plaque sclérifiée très fortement saillante vers l'arrière, recouvrant l'ouverture génitale ; partie postérieure de l'ectophalle sclérifiée, à saillies terminales ; partie ventro-antérieure formant une étroite pièce sclérifiée articulée à la partie postérieure. Pénis subcirculaire en vision dorsale, cachant le sac endophallique en vision latérale, connecté à l'extrémité avec une pièce chitineuse au centre de laquelle se situe l'ouverture génitale (cf. fig. 145, 146).

♀ inconnue.

Espèce-type du genre : *Chromomnesicles rubrithorax* n. sp.

Proche du genre *Lobiacris* par la structure de l'extrémité abdominale, *Chromomnesicles* se rapproche en revanche du genre *Pseudomnesicles* des Célèbes par la structure du complexe phallique.

Chromomnesicles rubrithorax n. sp.

(Fig. 22, 140-146)

♂. Holotype. Extrémité des élytres atteignant presque l'extrémité de l'abdomen. Parties latérales du dernier tergite à angle postéro-externe droit et angle postéro-interne très largement arrondi. Lobes latéraux de la plaque sous-génitale présentant une forte épine sur le bord supérieur en avant de l'angle postéro-interne et deux autres épines de plus petite taille situées l'une à l'angle postéro-interne, l'autre à l'angle postéro-externe ; seule l'épine de l'angle postéro-externe visible latéralement.

Dessus de la tête brun à bande longitudinale claire. Lobes latéraux du pronotum à grande plage rouge vif ; disque bruni à grande bande transverse de coloration rouge sur le bord antérieur. Base des élytres à bande rouge sur les 3 premières nervures ; une petite bande noire juste au-dessus. Genou postérieur à lignes noires. Tibias postérieurs brunâtres à face supérieure rougeâtre.

Complexe phallique comme représenté aux figures 141-142.

	Élytre	Fémur postérieur	Pronotum
1 ♂	10,5	9,9	2,4

Philippines : Mindanao, Surigao, 1 ♂ holotype (*Baker*). Académie de Philadelphie.

Genre **LOBIACRIS** Descamps, 1974

Descamps, 1974 : 1047.

Le genre *Lobiacris* endémique des Philippines n'était connu que par une seule espèce ; trois autres sont décrites ci-dessous.

Le genre se caractérise comme suit :

Dernier tergite abdominal ♂ très peu visible dorsalement, ne faisant pas saillie au-dessus de la plaque sus-anale (fig. 149).

Cerques ♂ à partie apicale plus longue que la partie basale, l'extrémité aiguë (fig. 23-35).

Plaque sous-génitale à carène médiane dépassant le milieu (fig. 148).

Épiphalle non différencié.

Repli dorsal de l'cetophalle peu saillant (fig. 153).

Plaque sous-génitale ♀ à 3 lobes triangulaires (fig. 166).

Espèce-type du genre : *Lobiacris stenoptera* Descamps, 1974.

Clé des espèces (♂)

1 (4) Lobes terminaux de la plaque sous-génitale très larges de profil ; cerques, considérés dorsalement, à bord externe de la partie amincie non ou peu incurvé (fig. 23, 147)..... 2

2 (3) Bord supérieur des parties latérales du dernier tergite non rabattu vers l'intérieur ; plaque sous-génitale, considérée de profil, étranglée au niveau de la base des lobes terminaux, ces derniers à grande dépression apicale (fig. 164)..... *L. stenoptera* Descamps, 1974

3 (2) Bord supérieur des parties latérales du dernier tergite rabattu vers l'intérieur ; plaque sous-génitale considérée de profil de largeur subconstante ; lobes terminaux à dépression apicale plus petite (fig. 147, 149). (♀ inconnue)..... *L. catbalogana* n. sp.

4 (1) Lobes terminaux de la plaque sous-génitale très étroits de profil, se terminant en pointe très aiguë ; cerques, considérés dorsalement, à bord externe de la partie amincie fortement incurvé (fig. 24, 154)..... *L. spinosa* n. sp.

Clé des espèces (♀)

1 (4) Partie latérale des supports basaux des valves inférieures de l'oviscapte redressée dorsalement et formant une très large plaque en arrière de l'angle latéro-postérieur du dernier tergite (en vue latérale) (fig. 163, 166)..... 2

2 (3) Plaque latérale des supports basaux à partie postérieure bilobée (fig. 163, 165)..... *L. stenoptera* Descamps, 1974

3 (2) Plaque latérale des supports basaux non bilobée, à bord postérieur excurvé (fig. 166, 167). (♂ inconnu)..... *L. lobata* n. sp.

4 (1) Partie latérale des supports basaux des valves inférieures de l'oviscapte peu redressée dorsalement, ne formant pas de large plaque latérale (fig. 161, 162)..... *L. spinosa* n. sp.

Lobiacris catbalogana n. sp.
(Fig. 23, 147-153)

♂. Holotype. Extrémité des élytres dépassant un peu le milieu des fémurs postérieurs. Quatre épines apicales à la face externe du 1er article des tarses postérieurs. Dernier tergite visible dorsalement sous forme d'une pièce transverse très courte, ne faisant pas saillie sur la plaque sus-anale ; parties latérales transverses, à bord supérieur rabattu vers l'intérieur et angle postéro-externe saillant, arrondi. Cerques à partie apicale subrectiligne, comprimée latéralement. Plaque sous-génitale rectiligne de profil ; lobes terminaux très larges en vision latérale, à petite dépression apicale, la face interne à grand lobe subcirculaire armé d'une forte épine orientée en oblique vers le bas et vers l'avant ; face ventrale à carène atteignant presque le bord postérieur du 8e sternite.

Capsule céphalique à dominante brun sombre. Une tache noire sur le bord antérieur du disque du pronotum. Élytres à base marquée de rouge sur les 3 premières nervures. Croissant géniculaire des fémurs postérieurs bruni. Tibias postérieurs blanc jaunâtre.

Complexe phallique comme représenté aux figures 150-153.

♀ inconnue.

	Élytre	Fémur postérieur	Pronotum
1 ♂	8,6	9,7	2,5

Philippines : Samar, Catbalogan, 1 ♂ holotype. Académie de Philadelphie.

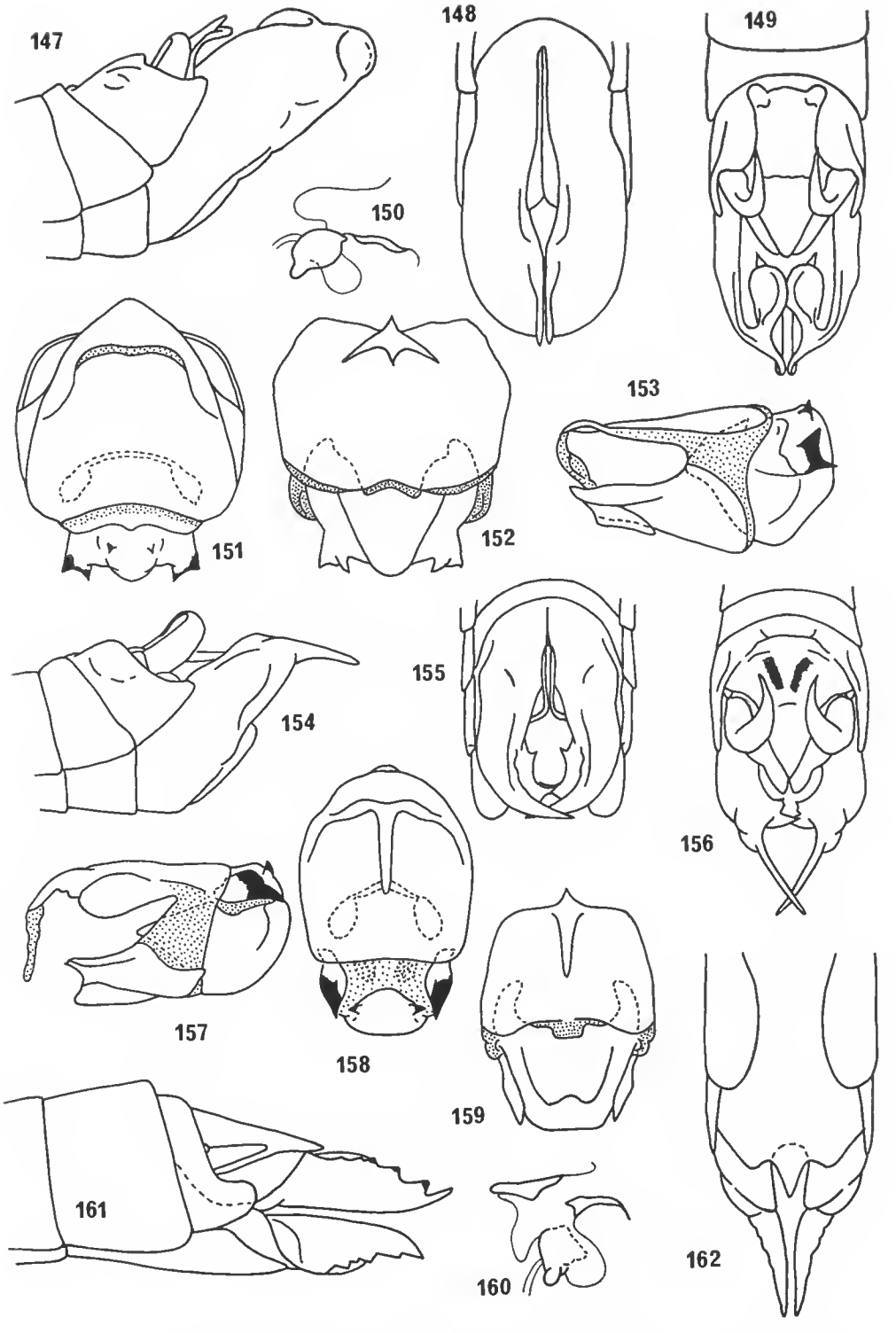

Fig. 147-153. — *Lobiacris catbalogana* n. sp., ♂.
147, extrémité abdominale, vue latérale ; 148, *id.*, vue ventrale ; 149, *id.*, vue dorsale ; 150, endophalle, vue latérale ; 151, complexe phallique, vue dorsale ; 152, *id.*, vue ventrale ; 153, *id.*, vue latérale.
Fig. 154-162. — *Lobiacris spinosa* n. sp., ♂, ♀.
154, extrémité abdominale ♂, vue latérale ; 155, *id.*, vue ventrale ; 156, *id.*, vue dorsale ; 157, complexe phallique, vue latérale ; 158, *id.*, vue dorsale ; 159, *id.*, vue ventrale ; 160, endophalle, vue latérale ; 161, extrémité abdominale ♀, vue latérale ; 162, *id.*, vue ventrale.

Lobiacris spinosa n. sp.
(Fig. 24, 154-162)

♂. Holotype. Extrémité des élytres atteignant la plaque sus-anale. Angle postéro-externe du dernier tergite abdominal fortement saillant. Cerques à partie apicale très longue, comprimée latéralement, à bord externe fortement incurvé. Plaque sous-génitale fortement redressée sur les 3/4 postérieurs ; face ventrale à carène atteignant le niveau de la coudure. Lobes terminaux étroits, subrectangulaires de profil, à angle postéro-interne formant une très longue épine ; angle postéro-externe recourbé vers l'intérieur, armé de 2 petites épines invisibles de profil ; une autre épine post-basale à la face interne.

Une ligne noire sur le bord antérieur du disque du pronotum. Base des élytres marquée de rouge sur les 3 premières nervures.

Complexe phallique comme représenté aux figures 157-160.

♀. Allotype. Extrémité des élytres atteignant le 2e anneau noir des fémurs postérieurs. Quatre épines apicales à la face externe du 1er article des tarses postérieurs. Cerques près de 3 fois plus longs que larges, l'extrémité étroitement arrondie. Plaque sous-génitale brusquement rétrécie au-delà de l'angle latéro-postérieur du dernier tergite, la partie postérieure à lobe médian en triangle allongé et lobes latéraux beaucoup plus petits que le lobe médian. Valves de l'ovisacpte de taille moyenne pour le groupe ; valves supérieures à bord externe peu excurvé et bord interne peu visible de profil ; valves inférieures à bord interne visible latéralement à la base. Bord externe des supports basaux des valves inférieures de l'ovisacpte non redressé.

Capsule céphalique à dominante brune. Disque du pronotum à large bande longitudinale brun foncé ; fémurs postérieurs à 2 anneaux précénieulaires brun-noir. Tibias postérieurs brun violacé à plages claires.

	Élytre	Fémur postérieur	Pronotum
1 ♂	8,7	?	2,0
1 ♀	11,5	12,5	3,2

Philippines : Mindanao, Butuan, 1 ♂ holotype, 1 ♀ allotype, 1 ♀ paratype (*Baker*). Académie de Philadelphie et Muséum national, Paris.

Lobiacris stenoptera Descamps, 1974
(Fig. 25, 163-165)

Descamps, 1974 : 1047, fig. 56-62.

Localité-type : Philippines, Leyte, Dagami, Mt Lobi, holotype ♂, allotype ♀. Académie de Philadelphie.

	Élytre	Fémur postérieur	Pronotum
1 ♂	6,7	10,2	2,7
1 ♀	10,7	13,7	3,3

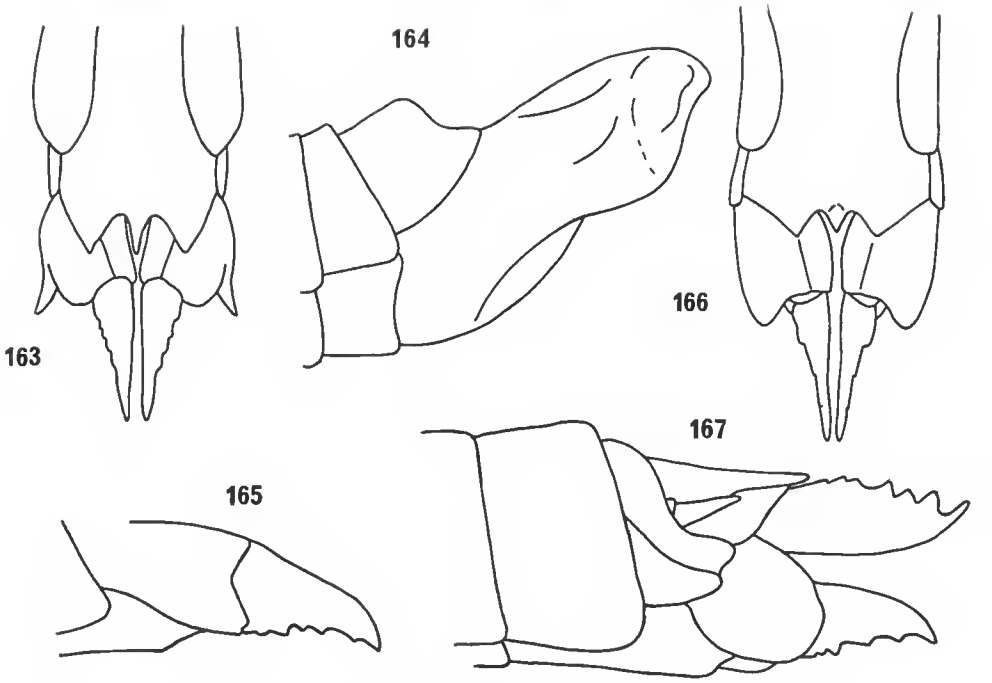

Fig. 163-165. — *Lobiacris stenoptera* Descamps, 1974, ♂, ♀.
163, extrémité abdominale ♀, vue ventrale ; 164, extrémité abdominale ♂, vue latérale ; 165, valve inférieure de l'oviscapte, vue latérale.
Fig. 166-167. — *Lobiacris lobata* n. sp., ♀.
166, extrémité abdominale, vue ventrale ; 167, *id.*, vue latérale.

Lobiacris lobata n. sp.
(Fig. 166-167)

♀. Holotype. Extrémité des élytres n'atteignant pas tout à fait le second anneau brun prégénieulaire des fémurs postérieurs. Quatre épines apicales à la face externe du 1er article des tarses postérieurs. Cerques longs, à extrémité arrondie. Plaque sous-génitale brusquement rétrécie à l'arrière, la partie postérieure divisée en 3 lobes triangulaires ; lobe médian étroit, lobes latéraux beaucoup plus larges, de longueur subégale à celle du lobe médian. Valves de l'oviscapte comme chez *L. spinosa* ; bord externe des supports basaux des valves inférieures formant un très grand lobe redressé dorsalement, à bord postérieur largement arqué.

Une petite bande transverse de coloration noire sur le bord antérieur du disque du pronotum. Base de l'élytre marquée de rouge et de noir. Fémurs postérieurs à 2 anneaux bruns plus marqués à la face interne. Base des tibias postérieurs brunâtre à plages claires, le reste jaunâtre.

♂ inconnu.

	Élytre	Fémur postérieur	Pronotum
1 ♀	11,9	13,3	3,4

Philippines : Samar, 1 ♀ holotype (*Baker*). Académie de Philadelphie.

Genre **LOXIMNESICLES** nov.

♀. Taille relativement grande pour la sous-famille. Profil de la face subrectiligne ; écusson interantennaire étroit, à bords latéraux légèrement excurvés. Fastigium du vertex de largeur subégale à la longueur du scape antennaire.

Bord postérieur du disque du pronotum peu excurvé. Élytres à base coriacée, non marquée de rouge. Tibias postérieurs sinués ; épines du bord interne fortes ; 3 épines apicales à la face externe du 1er article des tarses.

Cerques environ 2 fois plus longs que larges, l'extrémité largement arrondie. Plaque sous-génitale peu rétrécie à l'arrière, trilobée ; lobe médian triangulaire ; lobes latéraux subquadrangulaires, pas plus longs que le lobe médian. Valves de l'oviscapte longues, à bord interne non visible latéralement. Valves inférieures à face ventrale en rectangle allongé, traversée par 2 crêtes réunissant les bords latéraux. Supports basaux des valves inférieures à bord interne comprimé dorso-ventralement et bord externe un peu redressé.

♂ inconnu.

Espèce-type du genre : *Loximnesicles luzonicus* n. sp.

Le genre comporte actuellement 3 espèces dont une d'appartenance incertaine.

Clé des espèces (♀)

1 (4) Partie postérieure de la plaque sous-génitale trilobée 2

2 (3) Lobe médian de la plaque sous-génitale large à la base ; lobes latéraux un peu divergents, à angle postéro-interne très largement arrondi (fig. 169) ..... *L. luzonicus* n. sp.

3 (2) Lobe médian de la plaque sous-génitale étroit à la base, spiniforme ; lobes latéraux un peu convergents, à angle postéro-interne étroitement arrondi (fig. 168) ..... *L. annulosus* n. sp.

4 (1) Partie postérieure de la plaque sous-génitale non trilobée (fig. 171) ..... *L.* (?) *brachypterus* n. sp.

Loximnesicles annulosus n. sp.

(Fig. 168)

♀. Holotype. Extrémité des élytres atteignant la base des lobes génieulaires postérieurs. Deux bandes sous-oculaires noires longeant les carinules latérales de la face. Carènes des fémurs postérieurs marquées d'une ligne noire interrompue ; face dorsale à 3 plages prégénieulaires brun-noir, séparées par des plages plus petites et plus claires. Tibias postérieurs bruns à 3 anneaux clairs. Plaque sous-génitale représentée figure 168.

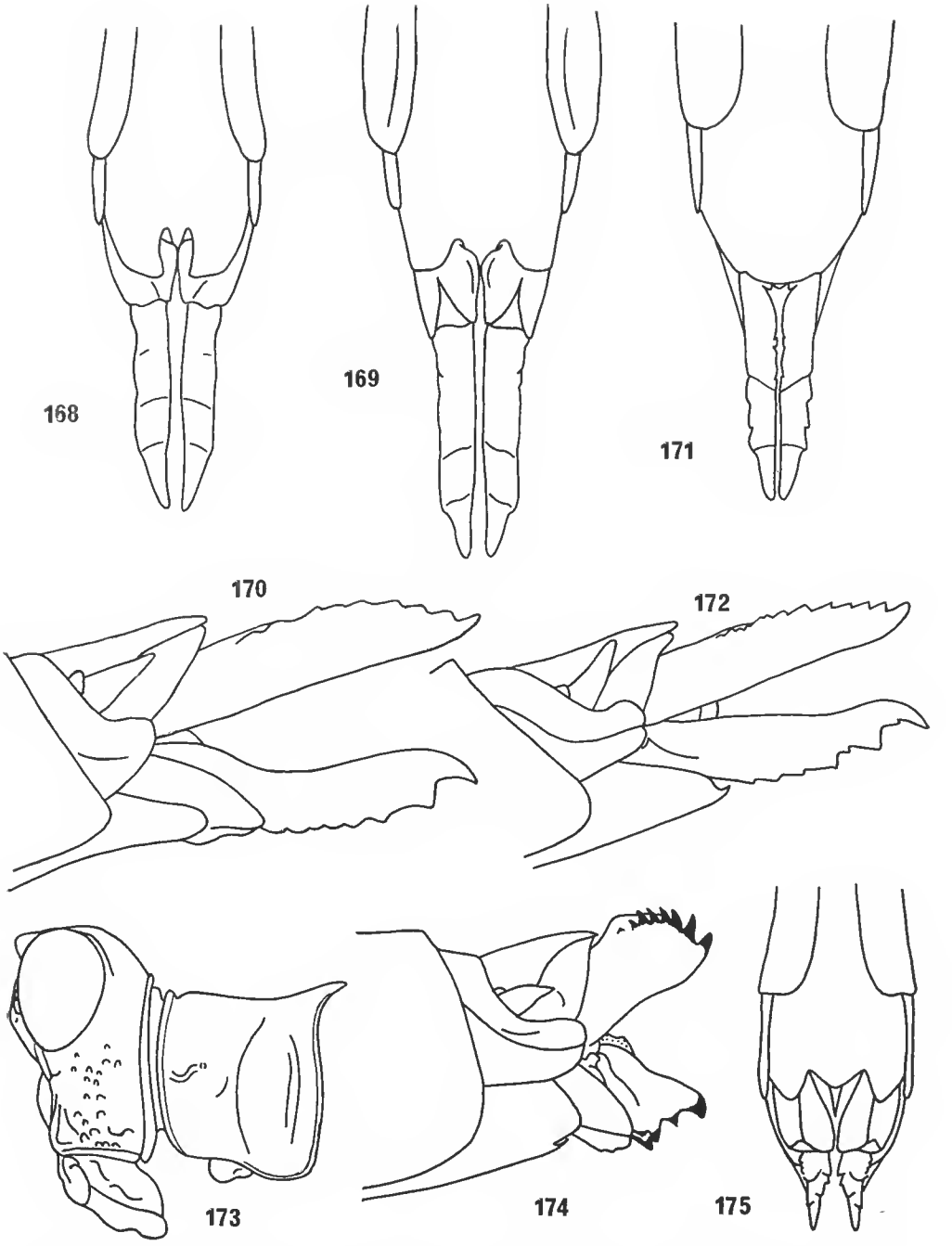

Fig. 168. — *Loximnesicles annulosus* n. gen., n. sp., ♀, extrémité abdominale, vue ventrale.
Fig. 169-170. — *Loximnesicles luzonicus* n. gen., n. sp., ♀.
169, extrémité abdominale, vue ventrale ; 170, *id.*, vue latérale.
Fig. 171-172. — *Loximnesicles* (?) *brachypterus* n. sp., ♀.
171, extrémité abdominale, vue ventrale ; 172, *id.*, vue latérale.
Fig. 173-175. — *Hyalomnesicles pustulatus* n. gen., n. sp., ♀.
173, tête et pronotum, vue latérale ; 174, extrémité abdominale, vue latérale ; 175, *id.*, vue ventrale.

	Élytre	Fémur postérieur	Pronotum
1 ♀	13,7	12,5	3,5

Philippines : Luzon, Mt Makiling, 1 ♀ holotype (*Baker*). Académie de Philadelphie.

Loximnesicles luzonicus n. sp.
(Fig. 169-170)

♀. Holotype. Extrémité des élytres atteignant la base des lobes géniculaires postérieurs. Pas de bandes sous-oculaires noires. Carènes de l'aire médiane externe des fémurs postérieurs marquées d'une ligne noire interrompue ; face dorsale monochrome. Tibias postérieurs brun-noir à 3 anneaux clairs. Plaque sous-génitale représentée figure 169.

	Élytre	Fémur postérieur	Pronotum
1 ♀	12,9	13,5	3,8

Philippines : S. W. Luzon, 1 ♀ holotype. Académie de Philadelphie.

Loximnesicles (?) **brachypterus** n. sp.
(Fig. 171-172)

♀. Holotype. Extrémité des élytres atteignant l'anneau préapical de coloration claire des fémurs postérieurs. Trois épines apicales à la face externe du 1er article des tarses postérieurs, et 2 (parfois 1) épines préapicales. Plaque sous-génitale relativement rétrécie vers l'arrière, à petite saillie médiane triangulaire. Face claire marquée de brun le long des carinules latérales ; joues claires ; dessus de la tête bruni. Une tache noire sur le bord antérieur du disque du pronotum. Fémurs postérieurs à extrémité brun-noir et large anneau préapical clair. Tibias postérieurs brun-noir à plages claires.

	Élytre	Fémur postérieur	Pronotum
2 ♀	9,7-10,3	12,5-12,6	3,4-3,6

Philippines : Mindanao, Surigao, 1 ♀ holotype, 1 ♀ paratype (*Baker*). Académie de Philadelphie et Muséum national, Paris.

Genre **HYALOMNESICLES** nov.

♀. Taille moyenne. Tégument granuleux sur la tête et le pronotum. Face bosselée, de profil fortement incurvé au-dessous des antennes. Écusson interantennaire large, à bords latéraux excurvés, visible latéralement. Carinules latérales de la face angulcuses au-dessous des yeux et marquées à ce niveau d'un épais granule ; angles inféro-externes de la face fortement saillants. Fastigium du vertex de largeur subégale à la longueur du seape et du pédicelle antennaires réunis, le bord antérieur rectiligne, les bords latéraux parallèles.

Bord postérieur du disque du pronotum saillant en angle obtus à pointe bien nette. Élytres transparents, élargis vers l'extrémité, à rétieulation lâehe. Pattes postérieures ?

Cerques relativement eourts. Parties latérales du 9e et du 10e tergite fortement saillantes vers l'arrière. Plaque sous-génitale non rétrécie vers l'arrière, la partie postérieure trilobée. Valves de l'oviseapte très eourtes. Valves supérieures à bord externe fortement arqué, armé de fortes dents eourbées vers l'avant ; bord interne visible de profil. Valves inférieures à bord interne armé d'une forte dent basale visible latéralement. Bord externe des supports basaux des valves inférieures de l'oviseapte fortement saillant ventralement.

♂ ineonnu.

Espèee-type du genre : *Hyalomnesicles pustulatus* n. sp.

Hyalomnesicles pustulatus n. sp.
(Fig. 173-175)

♀. Holotype. Élytres enfumés, à plage hyaline sur le ehamp médian et à l'extrémité, ette dernière atteignant l'extrémité de l'abdomen. Lobe médian de la plaque sous-génial triangulaire, eourt, l'extrémité prolongée par une pointe située un peu en eontrebas (guide-œuf) ; lobes latéraux larges, plus longs que le lobe médian, à angle postérieur largement arrondi. Teinte générale brune ; artieulations mandibulaires noires ; 2 taehes noires sur l'épimère mésothoraeique. Abdomen marqué de noir.

	Élytre	Fémur postérieur	Pronotum
1 ♀	14,8	?	3,7

Philippines : Samar, 1 ♀ holotype (*Baker*). Aeadémie de Philadelphie.

INDEX ALPHABÉTIQUE

acuticerca, *Mnesiclesina* (?) 1674
amboinensis, *Paramnesicles* 1662
annulosus, **Loximnesicles** 1692
bakeri, **Samariella** 1669
brachypterum, *Philippinacridium* 1685
brachypterus, **Loximnesicles** (?) 1694
buergersi, *Paramnesicles* 1662
catbalogana, *Lobiacris* 1688
Chromomnesicles 1685
crassipes, *Mnesiclesiella* 1665
curticerca, *Mnesiclesina* (?) 1674
equatorialis, *Paramnesicles* 1662
excurva, *Mnesiclesina* (?) 1676
formidabilis, **Sibuyania** 1660
furcata, *Mnesiclesina* 1673
horni, *Mnesiclesiella* 1665
Hyalomnesicles 1694
lobata, *Lobiacris* 1691
lobatum, *Philippinacridium* 1685
Lobiacris 1687
Loximnesicles 1692
luzonicus, **Loximnesicles** 1694
luzonicus, *Mnesicles* 1680
mazarredoi, *Mnesicles* 1679
membranaceus, **Xenomnesicles** 1671
Mnesicles 1677
Mnesiclesiella 1665
Mnesiclesina 1671
modestus, *Mnesicles* 1679
moluccensis, *Paramnesicles* 1662
novaeguineae, *Paramnesicles* 1662
palawanensis, *Philippinacridium* (?) .. 1685
Paramnesicles 1660
Philippinacridium 1683
pustulatus, **Hyalomnesicles** 1695
rubrithorax, **Chromomnesicles** 1687
Samariella 1667
samariensis, *Paramnesicles* 1663

saobensis, *Mnesicles* 1680
saussurei, *Mnesiclesina* 1673
secretus, *Paramnesicles* 1663
Sibuyania 1658
spinosa, *Lobiacris* 1690
stenoptera, *Lobiacris* 1690
stylata, *Mnesiclesina* 1673
trifidus, *Mnesicles* 1682
truncatus, *Mnesicles* (?) 1683
undulata, *Mnesiclesina* (?) 1676
viduata, **Samariella** 1669
Xenomnesicles 1670

RÉFÉRENCES BIBLIOGRAPHIQUES

Blackith, R. E., 1973. — A new Eumastacid Grasshopper. *Acrida*, **2** : 109-118.

Bolívar, C., 1914. — Eumastacinos nuevos ó poco conocidos (Orthoptera, Locustidae). *Trab. Mus. nac. Cienc. nat., Madr.*, **16**, 47 p.

— 1925. — Eumastacidos de Nueva Guinea (Orth., Acrid.). *Eos*, **1** : 93-131.

— 1930. — Monografia de los Eumastacidos. *Trab. Mus. nac. Cienc. nat., Madr.*, **46**, 380 p.

— 1931. — Estudios sobre Eumastacidos (Orth., Acrid.). I. Contribución al conocimiento del género Mnesicles. *Boln. Soc. esp. Hist. nat.*, **31** : 289-300.

— 1944. — Étude sur quelques Eumastacides d'Indo-Malaisie (Orth. Acrid.). *An. Esc. nac. Cienc. biol., Mex.*, **3** : 405-436.

Descamps, M., 1974. — Diagnoses et signalisations d'Eumastacoidea. II. Indo-Malaisie. *Bull. Mus. natn. Hist. nat., Paris*, 3e sér., nº 237, Zool. 161 : 1033-1053.

Karsch, F., 1889. — Orthopterologische Mittheilungen. I-III. *Ent. Nachr.*, **15** : 7-10, 24-36, 124-127.

Kevan, D. K. McE., 1963. — A note on Borneacridinae (Orth. Acridoidea). *Eos*, **39** : 279-283.

Saussure, H. de, 1903. — Analecta entomologica. II. Notice sur la tribu des Eumastaciens. *Revue suisse Zool.*, **11** : 43-112.

Stål, C., 1877. — Orthoptera nova ex Insulis Philippinis descripsit. *Öfvers. K. VetenskAkad. Förh.*, Stockholm, **10** : 54.

Willemse, C., 1938. — Results of the Oxford University Expedition to Sarawah (Borneo), 1932. Acrididae (Orthoptera). *Ann. Mag. nat. Hist.*, sér. 11, **2** : 217-236.

Manuscrit déposé le 5 novembre 1973.

Bull. Mus. natn. Hist. nat., Paris, 3e sér., nº 262, sept.-oct. 1974, Zoologie 184 : 1653-1696.

Achevé d'imprimer le 30 avril 1975.

IMPRIMERIE NATIONALE

4 564 004 5

Recommandations aux auteurs

Les articles à publier doivent être adressés directement au Secrétariat du *Bulletin du Muséum national d'Histoire naturelle*, 57, rue Cuvier, 75005 Paris. Ils seront accompagnés d'un résumé en une ou plusieurs langues. L'adresse du Laboratoire dans lequel le travail a été effectué figurera sur la première page, en note infrapaginale.

Le *texte* doit être dactylographié à double interligne, avec une marge suffisante, recto seulement. Pas de mots en majuscules, pas de soulignages (à l'exception des noms de genres et d'espèces soulignés d'un trait).

Il convient de numéroter les *tableaux* et de leur donner un titre ; les tableaux compliqués devront être préparés de façon à pouvoir être eliehés eomme une figure.

Les *références bibliographiques* apparaîtront selon les modèles suivants :

Bauchot, M.-L., J. Daget, J.-C. Hureau et Th. Monod, 1970. — Le problème des « auteurs secondaires » en taxionomie. *Bull. Mus. Hist. nat., Paris*, 2e sér., **42** (2) : 301-304.

Tinbergen, N., 1952. — The study of instinct. Oxford, Clarendon Press, 228 p.

Les *dessins* et *cartes* doivent être faits sur bristol blanc ou calque, à l'encre de chine. Envoyer les originaux. Les *photographies* seront le plus nettes possible, sur papier brillant, et normalement contrastées. L'emplacement des figures sera indiqué dans la marge et les légendes seront regroupées à la fin du texte, sur un feuillet séparé.

Un auteur ne pourra publier plus de 100 pages imprimées par an dans le *Bulletin*, en une ou plusieurs fois.

Une seule épreuve sera envoyée à l'auteur qui devra la retourner dans les quatre jours au Secrétariat, avee son manuserit. Les « eorreetions d'auteurs » (modifications ou additions de texte) trop nombreuses, et non justifiées par une information de dernière heure, pourront être facturées aux auteurs.

Ceux-ci reeevront gratuitement 50 exemplaires imprimés de leur travail. Ils pourront obtenir à leur frais des faseicules supplémentaires en s'adressant à la Bibliothèque eentrale du Muséum : 38, rue Geoffroy-Saint-Hilaire, 75005 Paris.

MUSEUM
NATIONAL
D'HIST.NAT.